

## **ЗАКЛЮЧЕНИЕ**

о результатах экспериментального исследования влияния адаптеров «ЛАД», «Светлица-супер», «Светлица (+)» на энергоинформационную систему человека.

Автор **Авдеев Сергей Динович**  
Лаборатория информационного конструирования  
Г.Новочеркасск

### **Актуальность проблемы.**

На фоне ухудшающейся демографической ситуации в России отчетливо выступает проблема социально значимых заболеваний, обусловленных воздействием неблагоприятных факторов внешней среды. К таким заболеваниям относятся аллергические, аутоиммунные, онкологические, врожденные пороки развития. Особенно возрос риск острых состояний сердечно-сосудистой системы, центральной нервной системы с развитием психозов, неуклонно в популяции высок риск сахарного диабета, ожирения. Надежность функционирования организма человека, в первую очередь, тесно связана с проблемой социально-патогенного антропогенного излучения, обусловленного биологическим действием электромагнитных полей естественного и искусственного происхождения и энергоинформационным обменом.

Лавина новых экспериментальных фактов установила четыре возможных источника патогенных воздействий на человека, приводящих к разрушению его энергоинформационной системы, с последующим развитием конкретных заболеваний.

Эти источники представлены социально-патогенным, техногенным, геопатогенным и космическим излучениями (Как выжить в условиях электромагнитной катастрофы. М., 1999).

Возникновение крупнокластерных патогенных излучений, в первую очередь, вызывает деструкцию информационно-энергетических структур органов и систем человека. Доказано, что при длительном нахождении людей в помещениях, где имеются энергетические аномалии от телевизоров, компьютеров и других излучающих систем, значительно превышающих естественные защитные способности информационно-энергетической системы человека, возникают быстрая утомляемость, головные боли, гипертония, нервные и психические расстройства. Спутниками нашей жизни стали сотовые телефоны, микроволновые печи, пейджеры и т.д.

Присутствие нужных нам для жизни, но опасно излучающих устройств создает враждебную обстановку, опасную для нашего здоровья. Большинство из нас стали энергоинформационными дистрофиками. Можно

представить себе интенсивность тонких воздействий на людей, которые по роду своей профессиональной деятельности вынуждены пропускать через себя чужие для них психоэнергетические аномалии - врачи, учителя, кассиры, продавцы, сотрудники хранилищ денег.

Для защиты человека от воздействия тонких физических аномалий была разработана серия адаптеров.

### **Материалы и методы исследования.**

Для регистрации работы прибора исследовали его воздействие на энергоинформационную систему человека - 16 пациентов с дисбалансом ЦНС, вегетативной и эндокринной систем, выполняющих адаптационную роль в организме человека.

В качестве индикатора регистрации энергоинформационного излучения органа использовали биологическую тест-систему (БТС), компоненты которой были представлены восьмью аминокислотами (тирозин, лейцин, глютаминовая кислота, триптофан, аспарагиновая, серии, валин, аргинин), медиаторами тканевого обмена (дофамин, гистамин), нуклеотидами ДНК, сернокислой магнезией (патенты на изобретение проф. Савиной Л.В.: Способ регистрации электромагнитного излучения поверхности тела человека. №2180442. М.,2002; Способ контроля нейтрализации эффекта воздействия электромагнитного поля на организм человека. №2178172. М.,2002; Способ определения энергоинформационного воздействия на человека. №2179724. М.,2002; Способ определения энергетического излучения тела человека. №2239364. М.,2004. Статьи проф. Савиной Л.В.: Способ регистрации биологического излучения тела человека.//Сознание и физическая реальность.-2003, №4.-с.60-64; Возможности энергоинформационной матрицы в регистрации излучения живого, биокосного и косного объектов// Сознание и физическая реальность.-2004, №6.-с.47-50).

В основе энергоинформационной диагностики лежит регистрация информационного волнового излучения органа, клетки, обусловленного ходом обменных и квантовых процессов в них. Аминокислоты, входящие в БТС, обладают способностью воспринимать информацию и передавать ее в виде конвертируемых структур.

Программа построения любой биологической системы, органа - это самоорганизация белковых молекул, которая генетически закодирована. Белки состоят из аминокислот, каждая из них имеет свою кодирующую программу и легко считывает информацию о себе подобной.

Способ осуществляют следующим образом: 0,02 мл БТС наносят на стеклянную подложку, помещают ее на исследуемую зону проекции того или иного органа, выдерживают 1-2 минуты, затем сушат в контролируемых условиях и исследуют в поляризационном микроскопе с кварцевым компенсатором.

БТС является биологическим жидким кристаллом, обладающим высокой оптической активностью.

Результат исследований определяют по цветам интерференционной окраски по таблице Мишель-Леви по структурированию БТС. При этом учитывают показатель энергии фотонов в электрон-вольтах:

- Красный цвет - 1,67 - 1,88
- Оранжевый - 1,88 - 2,08
- Желтый - 2,08 - 2,3
- Зеленый - 2,3 - 2,5
- Синий - 2,5 - 2,9
- Фиолетовый - 2,9 - 3,06.

При изучении структуры БТС можно установить наличие стабильности энергоинформационной системы организма (упорядоченные структуры), деструкции (неориентированные структуры, информационные версии) и нестабильности (слабо ориентированные структуры).

Стабильность энергоинформационной системы (СЭИС) присуща здоровым лицам, как правило, донорам энергосистем; деструкция энергоинформационной системы (ДЭИС) характерна для энергетически зависимых личностей; нестабильность энергоинформационной системы (НЭИС) определяется у лиц с перемежающейся энергоинформационной стабильностью, функционально обратимой.

Исследования проводили до и спустя 20 и 40 минут после применения адаптеров.

Характеристика адаптеров:

1. ЛАД - системный адаптер для мобильных телефонов, компьютеров, телевизоров, микроволновых печей.
2. Светлица-супер - биокомпенсатор патогенных воздействий.
3. Светлица (+) - биокомпенсатор патогенных воздействий. Результаты исследований оценивались согласно шкале частоты резонансно-настроенных энергетических зон организма человека.

Эталонная шкала частоты информационных излучений была получена при облучении БТС акустическими колебаниями (АК) от электродинамического излучателя, питаемого звуковым генератором мощностью 0,1 Вт. Диапазон АК колебался от 20 до 2000 Гц. Время облучения равнялось 1 минуте. Для каждого диапазона были характерны свои структуры.

Приводим наиболее типичные для здорового человека диапазоны информационных частот, присущие его главным энергетическим зонам:

- Голова - 120-150 Гц
- Шея (щитовидная железа) - 100-120 Гц
- Сердце-90-110-120 Гц
- Солнечное сплетение - 80-100 Гц
- Половые органы - 40-80 Гц
- Крестец - 20-40 Гц

(Савина Л.В. Монография. Я излучаю. Краснодар, 2001)

## Результаты исследований.

Приводим исходную структуру биологической тест-системы (БТС), рис. 1, которая представлена субпараллельными упорядоченными агрегатами голубой, сиреневой и оранжевой окрасок, что свидетельствует о том, что указанная система обладает свойствами жидкого кристалла и считывает информацию с объектов, обладающих различными резонансными частотами.

При регистрации информационного излучения с диска «ЛАД» мы обнаружили высоко чувствительную реакцию БТС, которая сформировала четкую упорядоченную структуру, выполненную субпараллельными спиралеобразными агрегатами, которые возникают в режиме 120-150 Гц. Эта частотная полоса присуща информационному спектру частот головного мозга здорового человека. По центру препарата проходит информационный сигнал-ориентатор, рис. 2. Учитывая способности прибора настраиваться на частотный спектр головного мозга, мы провели исследования с 6 пациентами, у которых были проявления ситуационного невроза с астенодепрессивным синдромом. Диск помещали в центр грудины и выдерживали на протяжении 10 минут, регистрировали энергоинформационное излучение энергетических центров (голова - центр лба; шея - щитовидная железа; точка Боткина - зона проекции сердца; эпигастрий - зона проекции солнечного сплетения). Регистрация велась в исходном состоянии, через 20 и 40 минут после воздействия диска.

Приводим наиболее информативные данные:

- Голова. Исходная структура, рис. 3 а,б,в. Исходная структура, рис. 3а, слабо ориентирована, видны участки малинового цвета - зоны возбуждения. Через 20 минут возникли участки ориентированной структуры, появилась зона желтой окраски, присущей головному мозгу здорового, уравновешенного человека. Через 40 минут проявилась четко ориентированная структура, выполненная субпараллельными спиралеобразными агрегатами, характерными для информационной структуры (ИС) самого диска. Частотный спектр соответствует 130 Гц. Энергоинформационное поле (ЭИП) головы пациента восстановилось.
- Щитовидная железа (шея). Исходная ИС, рис.4а, свидетельствует о присутствии информационного загрязнения (информационная версия) в виде гриба на ножке, в грибе - размытость, что отличает его от окружающего пространства. Это информационный блок (ИБ). ИС, полученная через 20 и 40 минут приведена на рис. 4б и 4в. Наблюдается постепенное восстановление ЭИП, частота спектра излучения соответствует 100 Гц, структура ориентирована, видны крупные спиралеобразные агрегаты, в центре и слева информационный флер от ИБ, рис. 4в. ЭИП шеи восстановилось.

- Зона сердца. Исходная ИС приведена на рис. 5 а, она нарушена ИБ, в нем видны округлые зерна дестабилизации БТС. ИС, спустя 20 и 40 минут представлены на рис. 5б,в. Через 20 минут от начала применения диска наблюдается постепенное восстановление ИС, но остаются участки информационного флера (ИФ), 5б. Восстановление ЭИП представлено на рис. 5в, присутствуют крупные субпараллельные агрегаты со спиралеобразной ориентацией, частота - 60 Гц (норма - 90-100Гц)
- Зона эпигастрия, солнечное сплетение - проекция лобных долей головного мозга человека. Исходная структура показана на рис. 6а-неориентированная структура, малиновое плато раздражения (возбуждения). Динамика восстановления ЭИП показана на рис. 6 б,в. На рис 6б видны зоны ИФ, темнобордовые включения, появление упорядоченной структуры. О восстановлении ЭИП солнечного сплетения свидетельствует наличие ориентированной структуры, соответствующей 70 Гц (норма - 80-100 Гц), рис. 6в.

- Приводим данные о влиянии ЛАД на течение энергетического процесса на уровне клеточного обмена, рис. 7 и рис. 8, а-г.

Исходные данные, рис. 7 а,б,в,г. В поле зрения, при исследовании вышеуказанных энергетических зон, появляются крупные клетки с диаметром от 15 до 65 цкм выдержанной ориентации. Воздействие ЛАД характеризуется трансформацией клеточных элементов, они становятся пространственно ориентированными, диаметром от 5 до 25 цкм, что свидетельствует о проникающем влиянии информационного волнового излучения диска. Изменяется интенсивность хода обменных процессов на уровне клеток, он усиливается и протекает гармонично, рис. 8 а-г.

Вывод: энергоинформационное волновое излучение диска ЛАД положительно влияет на систему энергоинформационного обеспечения человека, преобразовывая и синхронизируя частотные характеристики энергетических зон, способствуя их резонансному настрою.

- ЛАД- как системный адаптер при пользовании мобильным телефоном.

Взросший всплеск общественного пользования мобильным телефоном неизбежно влечет за собой опасные последствия - возникают боли, поднимается артериальное давление, у некоторых могут быть приступы эпилепсии, опухоли головного мозга, у молодых лиц -нарушение функции гипофиза - железы, регулирующей деятельность всей эндокринно-вегетативной системы.

Приводим исходные данные по регистрации волнового излучения сотового телефона волонтера Ж., рис. 9 а,в. Фоновое ЭИП приведено на рис. 9а, на рис. 9 в показано информационное загрязнение телефона.

Волонтер Ж. Исходное ИЭП головного мозга приведено на рис. 10а, структура БТС упорядочена, частотный спектр излучения - 150 Гц. Телефон включен и волонтер приступил к разговору - спектр волнового излучения мозга изменился, что сопровождалось появлением разорванных полос в БТС, рис. 10б, а спустя 2 минуты длительности разговора появилась резкая деструкция ЭИП головного мозга, рис. 10в. Цвета интерференционной окраски ярко малиновые, что указывает на возбуждение.

Приводим энергограммы головного мозга волонтера Ж. спустя 2 и 5 минут в условиях применения ЛАД (помещение на телефон диска). Обнаружен эффект погашения очага возбуждения, появилась ориентированная спиралеобразная структура, рис. 11 а,б. Частотный спектр излучения головного мозга около 95-110 Гц. Диск ЛАД оказывал воздействие на клеточном уровне, о чем свидетельствовало специфическое поведение БТС.

На рис. 12а показана исходная клеточная реакция БТС на излучение головного мозга волонтера Ж. - видны ориентированные структурные элементы, диаметром от 10 до 25 икм. На рис. 12б зарегистрирован момент «энергетического взрыва», полученный на 10-й минуте разговора, присутствует одна клетка, в окружении энергетического «всполоха» (удара), на рис. 12в показано как происходит погашение «энергетического взрыва» при применении ЛАД, появляются клеточные элементы, уменьшается плато энергетического удара.

Светлица-супер (диск) - предназначена для нормализации энергоинформационной системы человека.

Регистрация волнового излучения диска при помощи БТС обнаружила его частотную характеристику близкую к 100-105 Гц, рис. 13 а,б, при этом возникает упорядоченная структура выполненная плотно упакованными спиралевидными агрегатами, рис. 13а (аминокислоты, самоорганизуясь, образуют спирали).

Диск работает на клеточном уровне, что проявляется построением клеточных элементов в БТС, рис. 13б. Исследования проведены с 5 волонтерами. Обращала на себя внимание способность адаптера регулировать энергоинформационную систему (ЭИС) человека в соответствии с физиологическими резонансными частотами организма.

Диск помещали в зону проекции сердца, регистрировали исходное излучение органов, спустя 20 и 40 минут после его применения.

Пример. Волонтер А. накануне перенес пищевую интоксикацию, которая сопровождалась выраженным диарейным синдромом, потерей жидкости.

- Головной мозг. Исходное ЭИП обладало высокой резонансной частотой до 250 Гц, что указывало на возбудимость центральной нервной системы, обусловленную интоксикацией и внеклеточной

дегидратацией, рис. 14а. Спустя 20 минут от начала применения адаптера изменилась частотная характеристика до 150-180 Гц, рис. 14б. Через 40 минут возбудимость головного мозга снизилась до 60 Гц, возникло состояние близкое ко сну, рис. 14в. Обращал на себя внимание факт выраженной упорядоченности структуры БТС, регистрирующей информационный код биологического излучения головного мозга.

Приводим реакцию БТС на клеточном уровне, рис. 15 а,б. Исходные клеточные элементы были гигантскими, распластанными (а), спустя 40 минут после применения диска они стали носить упорядоченный характер диаметром от 5 до 12 цкм (б)

Вышеописанное подтверждает положительную динамику изменения частотно-резонансной характеристики головного мозга при использовании Светлицы-супер.

- Щитовидная железа. Динамика изменения резонансной частоты приведена на рис. 16а-в. Исходное ЭИП резко усилено, частота спектра испускаемого излучения свыше 300 Гц, структура БТС в виде сплошного плато, рис. 16а. После 20 минут применения адаптера частотный спектр изменился до 250-260 Гц, а через 40 минут наблюдалось урежение частоты до 90 Гц (норма 100-120 Гц).
- Зона сердца. Динамика формирования структуры БТС представлена на рис. 17 а-в. Исходное излучение (частота > 350 Гц), рис. 17а, структура в виде плато, частотный спектр через 20 минут - до 300 Гц, рис. 17б, через 40 минут - рис. 17в, частота до 80 Гц (норма 90-100 Гц).
- Зона эпигастрия (верхний отдел живота). Исходное ЭИП - плато, частота 250-280 Гц, рис. 18а, через 20 минут - частота до 200 Гц, плато рассечено мелкими субпараллельными террасами, рис. 18б, через 40 минут частотный спектр значительно снизился - до 75-80 Гц (норма 80-100 Гц), рис. 18в.

Структура БТС ориентирована. Клеточный уровень воздействия адаптера приведен на рис. 19 а,б,в и 20 а,б,в (до и после воздействия через 40 минут).

Исходные данные, рис. 19 а-в, присутствуют крупные клеточные элементы, средний диаметр от 5 до 35 цкм; фактор применения адаптера - появились мелкие ориентированные клетки от 2 до 12 цкм (подтверждение смены ритма излучения органов), рис. 20 а-в.

Вывод: Светлица-супер физиологический адаптер энергоинформационной системы обеспечения человека. Необходим для предотвращения экстремальных состояний организма человека. Нет побочных эффектов. Координирует частотный спектр энергетических зон и отдельных органов человека, осуществляет их гармонизацию, сонастрой.

Светлица-два (+). Форма адаптера - квадратная. Накладывались на зону проекции сердца человека. Исследовано 5 больных с диагнозами:

Синдром вегетативной дистонии с вегетативно-сосудистыми кризами; диффузный токсический зоб, впервые выявленный, средняя степень тяжести.

Выбор больных был связан с максимумом энергетической разбалансировки при этих заболеваниях. Вегетативно-сосудистые кризы, как правило, протекают при выраженной дисфункции вегетативных и сосудистых центров, с дальнейшим развитием неврозов, психоастенических состояний. Диффузный токсический зоб - заболевание, обусловлено патологическим избыточным выбросом гормонов щитовидной железы, которые в норме регулируют все виды обменов на клиническом уровне, обеспечивая процессы тканевого дыхания, сопрягают окислительное фосфорилирование. ■ Информационное излучение Светлица-два (+), рис. 21, представлено

равномерно-ориентированной структурой в виде субпараллельных полосчатых агрегатов, частотный информационный спектр - 80-85 Гц.

Приводим информационные энергограммы БТС, отреагировавшей на излучение органов: надпочечники, головной мозг, щитовидная железа, сердце.

Надпочечники включены в эксперимент как органы, реагирующие на любое состояние организма, связанное с адаптацией.

Пример. Больной П., диагноз: Вегетативная дисфункция, симпатoadреналовые (надпочечниковые) кризы. Гипертония. Опухолевидное образование левого надпочечника (доброкачественное). Болен один год.

Приводим исходную энергограмму правого (здорового) надпочечника, рис. А - а и левого (опухолевидное образование), рис. А - б. Видно энергетически активное состояние левого надпочечника, структура БТС не ориентирована, присутствует включение.

Светлица-два (+) помещалась в зону проекции сердца, выдерживалась на протяжении 20 минут, ЭИП органов регистрировали через 20 и 40 минут.

Приводим энергограммы надпочечников после применения адаптера, рис. 22 а,б; а — здорового, б — с опухолевидным образованием. Зарегистрирована ориентированная структура, с максимумом упорядоченности в зоне здорового надпочечника, частота 90 Гц (норма 90-110 Гц), в зоне больного - частота 80 Гц.

- Головной мозг. Исходное ЭИП, рис. 23. Видны очаги возбуждения (красная окраска) и информационное загрязнение. Структура дестабилизирована. После применения адаптера, через 20 минут, рис. 24а, появилась ориентированная структура, золотистой окраски, частота - 80 Гц, спустя 40 минут (рис. 24б) восстановился а-ритм лобных долей, информационная частота - 100 Гц.
- Сердце. Исходное ЭИП, рис. 25 а,б. Структура нарушена, прерывается информационной версией (а), виден блик верхушки сердца (б), десинхронизация ритма излучения. После применения

адаптера появился синхронный ритм излучения - ориентированные субпараллельные спиралеобразные структуры, рис. 26а, восстановление информационного ритма излучения - 90-95 Гц, отчетливо проявилась зона сердца, экранированная в защитную оболочку, рис. 26 б. • Щитовидная железа. Исходное ЭИП - видна разноориентированная структура, рис. 27 а. Применение адаптера синхронизировало излучение органа, рис. 27 б,в (через 20 и 40 минут), через 40 минут частота информационного излучения стала нормальной - 110 Гц.

Диффузный токсический зоб — заболевание, которое протекает с интоксикацией организма гормонами щитовидной железы, при этом происходит высокая активация симпатoadреналовой системы.

Представлял интерес сравнительной оценки погашения активности симпатoadреналовой системы (адаптационной системы организма человека) при помощи Светлицы-супер.

В предыдущем примере мы использовали Светлицу-два (+).

Пример. Больной А. Диагноз - диффузный токсический зоб. Средняя тяжесть. Высокая активность симпатoadреналовой системы.

- Щитовидная железа. Исходное ЭИП, рис. 28 а, структура дестабилизирована, разорвана информационными блоками, применение адаптера через 20 минут сопровождалось появлением неустойчиво ориентированной полосчатой структуры, рис. 28 б; спустя 40 минут ритм информационного излучения стабилизировался, приблизился к 100 Гц, рис. 28в (норма-- 100-120 Гц), зарегистрирован положительный эффект.
- Головной мозг. Исходное ЭИП - рис. 29 а,б. Зарегистрирована энергоинформационная дестабилизация, загрязнение (версия)- рис. 29а, зоны активного возбуждения, рис. 29 б. Применение адаптера стабилизировало информационный ритм излучения, частота до 110 Гц, рис. 29в.
- Сердце - орган мишень поражения тиреоидными гормонами, высоко чувствительно к повышению тонуса симпатoadреналовой системы, что приводит к развитию мерцательной аритмии. На рис. 30 а,б - исходное ЭИП сердца, виден блок загрязнения (а), хорошо просматривается конфигурация сердца в разорванном ритме информационного излучения (б). Применение адаптера стабилизировало ЭИП сердца, рис. 31 а,б,в. Виден контур сердца, окруженный полосчатым защитным панцирем (а), восстановление ритма - рис. 31 б,в, с формированием четкой ориентированной структурой, частота 100 Гц (норма), рис. 31 в.

Стабилизирующий эффект адаптера несомненен. Сравнительная оценка работы двух адаптеров нецелесообразна. Оба могут быть использованы в лечебных целях, и это объективно.

### Заключение.

Проведенные исследования адаптеров, изготовленных в лаборатории информационного конструирования свидетельствуют о положительном их воздействии на систему энергоинформационного обеспечения человека.

Установлена частотная характеристика информационного волнового излучения приборов: ЛАД - 120-150 Гц; Светлица-супер - 100 Гц; Светлица-два (+) - 80-85 Гц.

Частотные диапазоны соответствуют основным частотным спектрам ведущих энергетических центров организма человека.

Впервые обнаружен универсальный характер стабилизирующей синхронизации частот излучения адаптеров и энергетических центров человека благодаря селективной настройке приборов на частотные диапазоны, поступающие от органов.

Адаптеры картируют информационные структуры поля человека, настраиваясь на энергоинформационную деструкцию, входят в новый режим информационного воздействия.

Адаптеры гармонизируют энергоинформационную систему человека, восстанавливая физиологические функции адаптационной системы защиты (центральная нервная система, гормональная), купируют стрессорные реакции.

Приборы могут быть использованы в целях профилактики (создание экологической полевой стерильности) и в лечебных.

Целесообразно продолжить начатые исследования в целях дальнейшего изучения энергоинформационных взаимодействий в системе человек и окружающий мир.

Доктор медицинских наук,  
профессор,  
КГМУ,  
кафедра внутренних  
болезней ФПК и ЦПС

Савина Л.В.



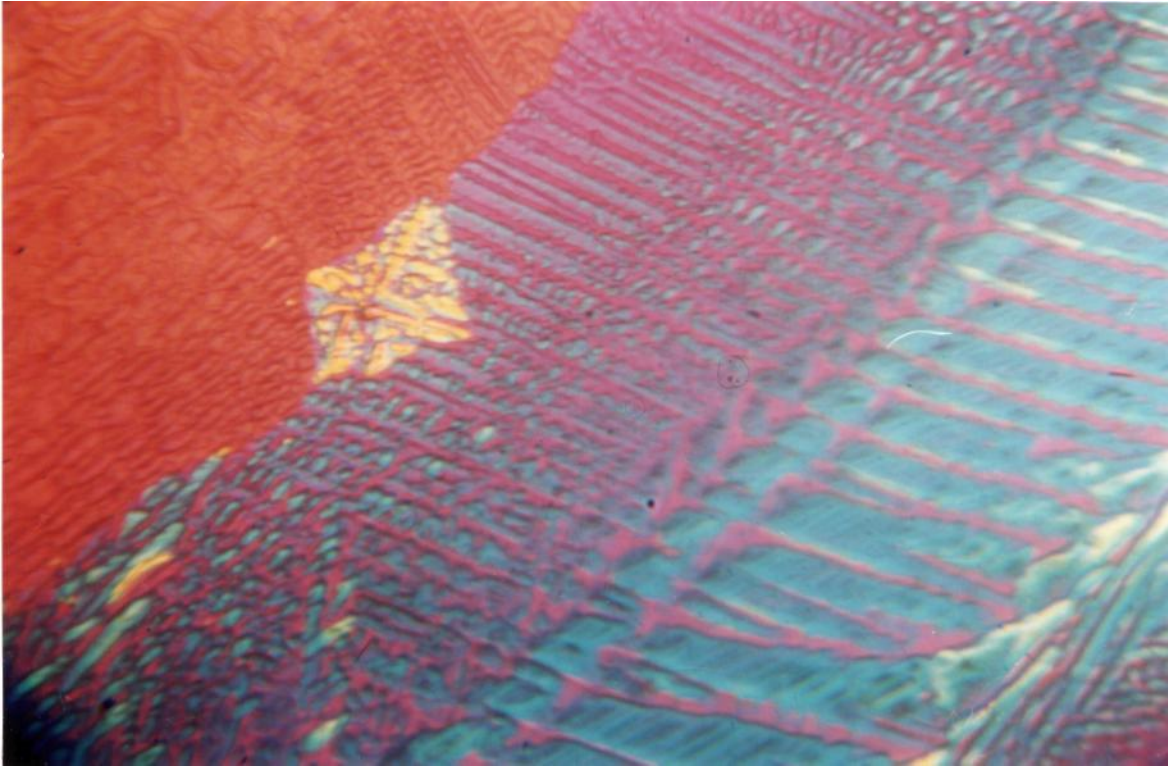


Рис. 1 Исходная структура БТС

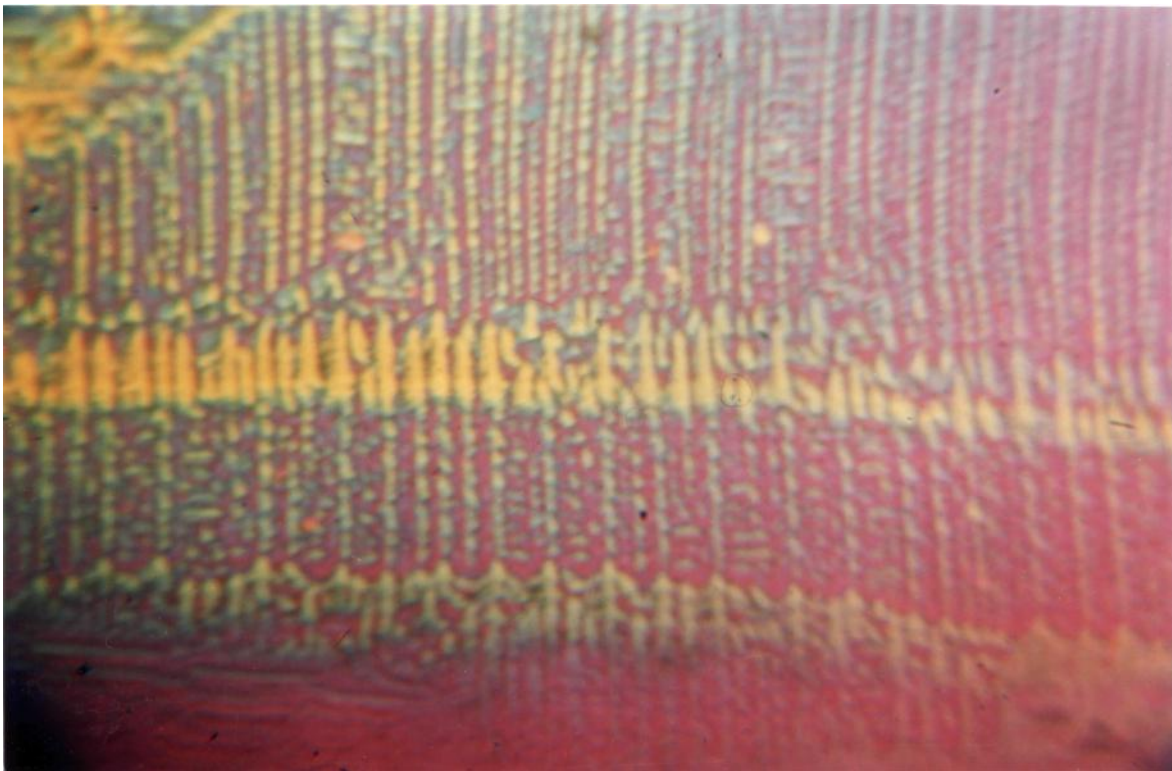
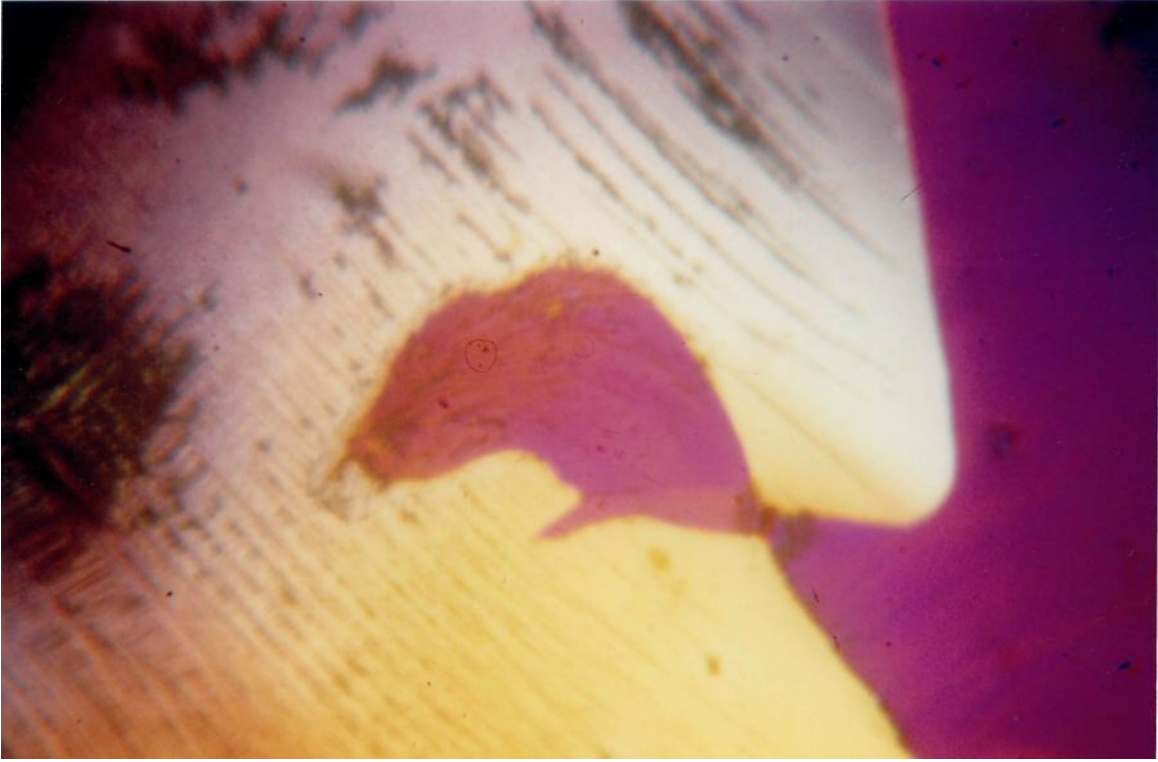


Рис. 2. Информационная структура БТС, полученная с диска ЛАД



а

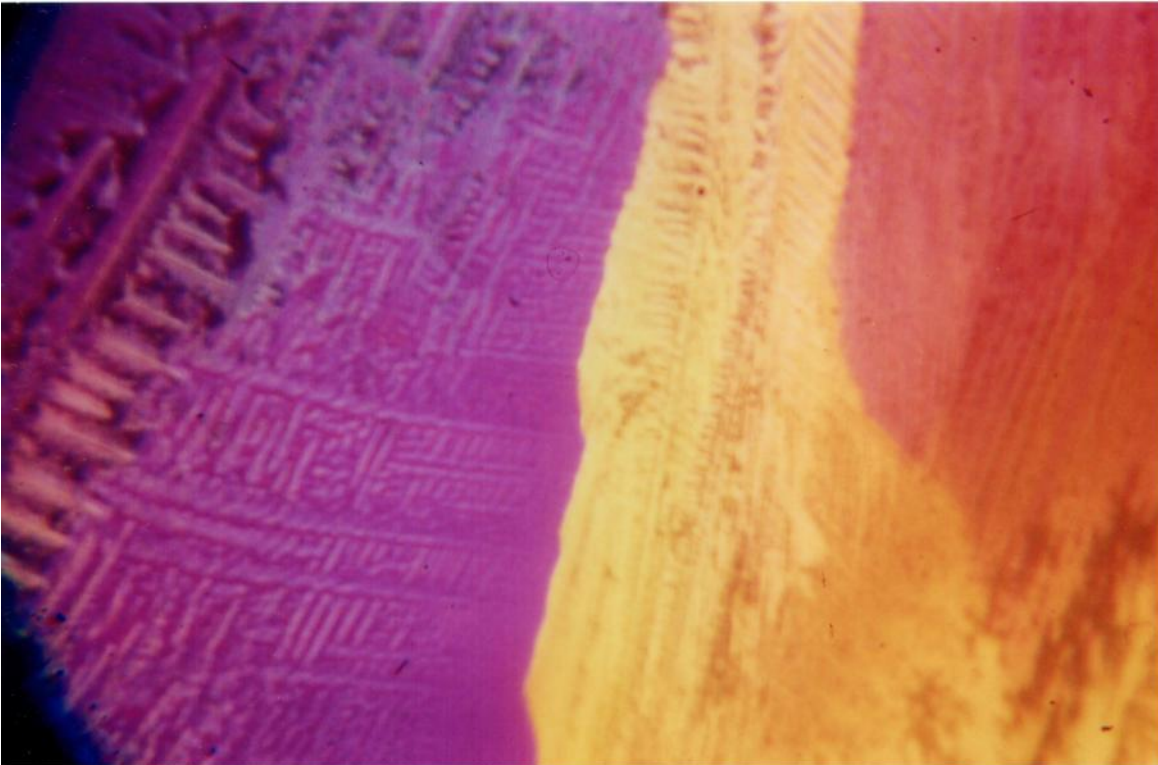
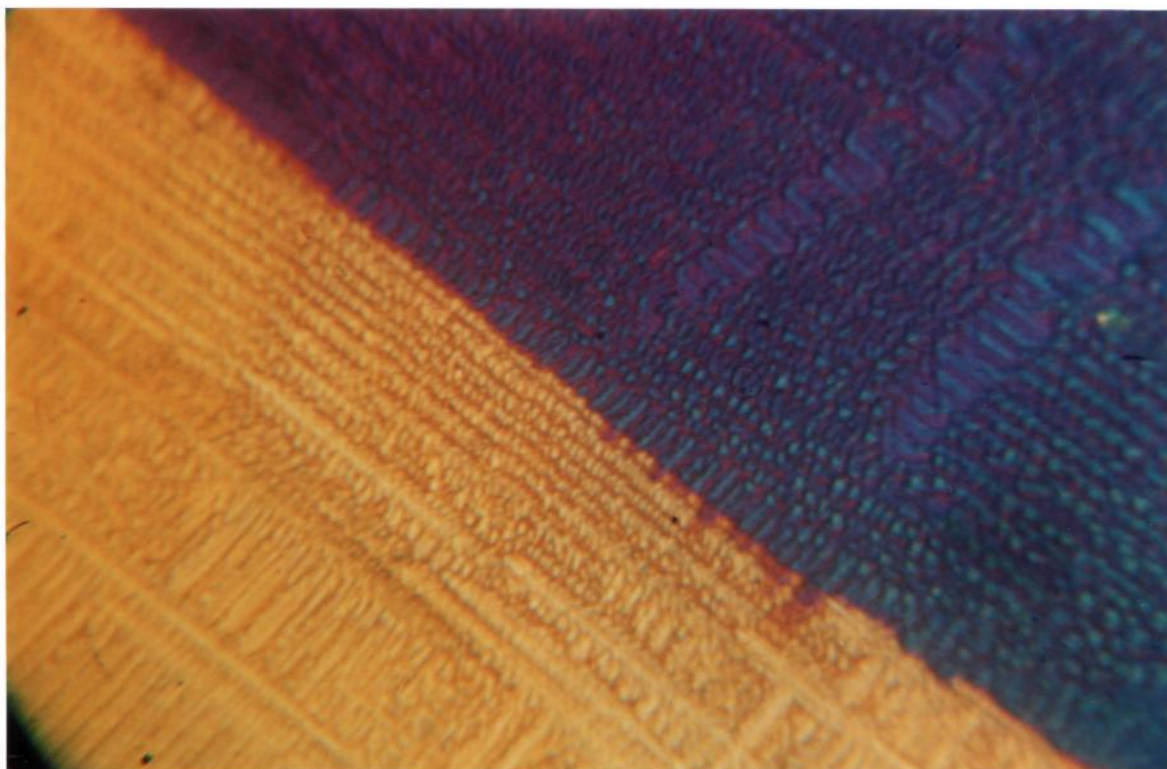


Рис. 3 а-в, смотри на обороте



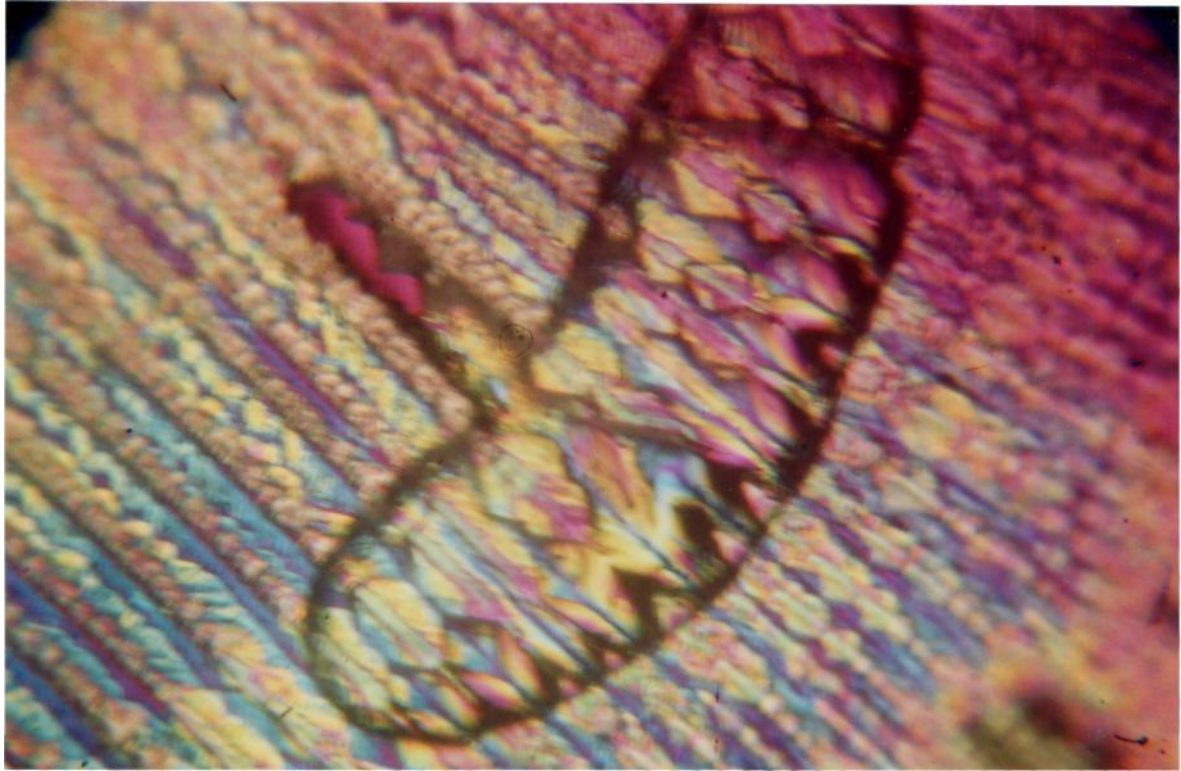
В

Рис. 3 а-в. Влияние диска ЛАД на головной мозг у лиц с ситуационным неврозом, астенодепрессивным синдромом:

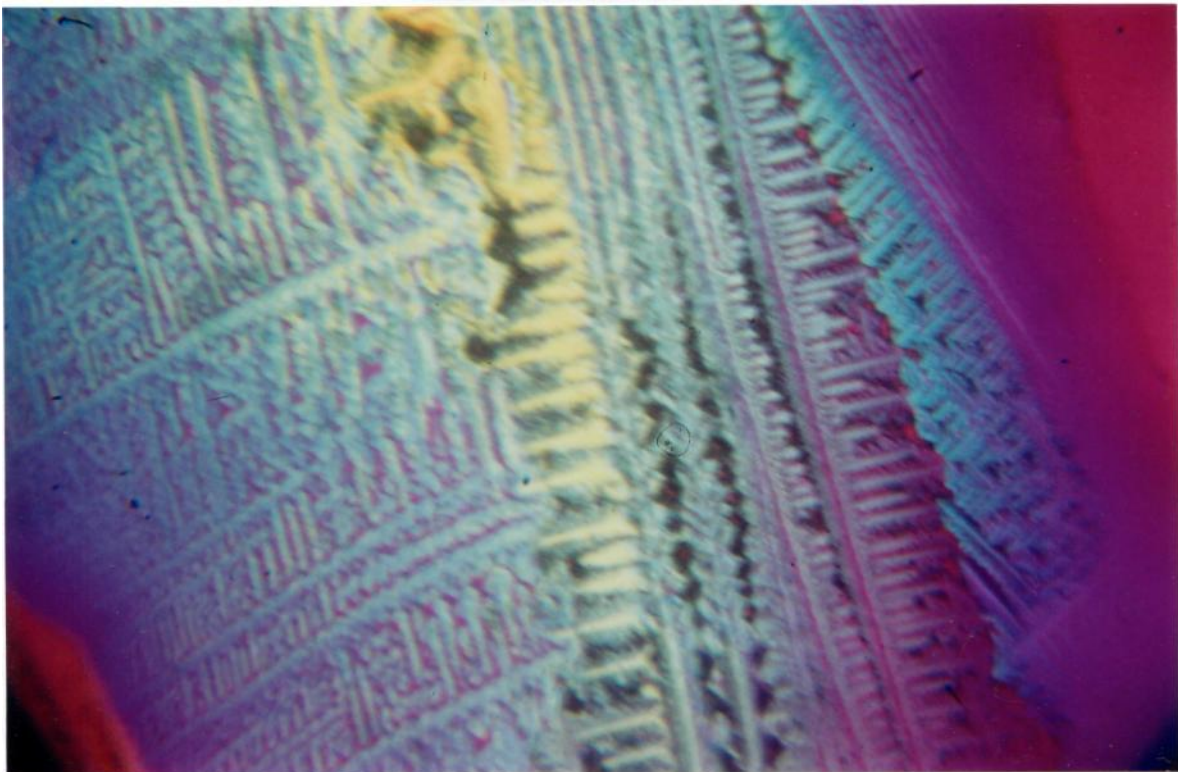
а - исходная структура

б - спустя 20 минут

в - спустя 40 минут от начала воздействия диска

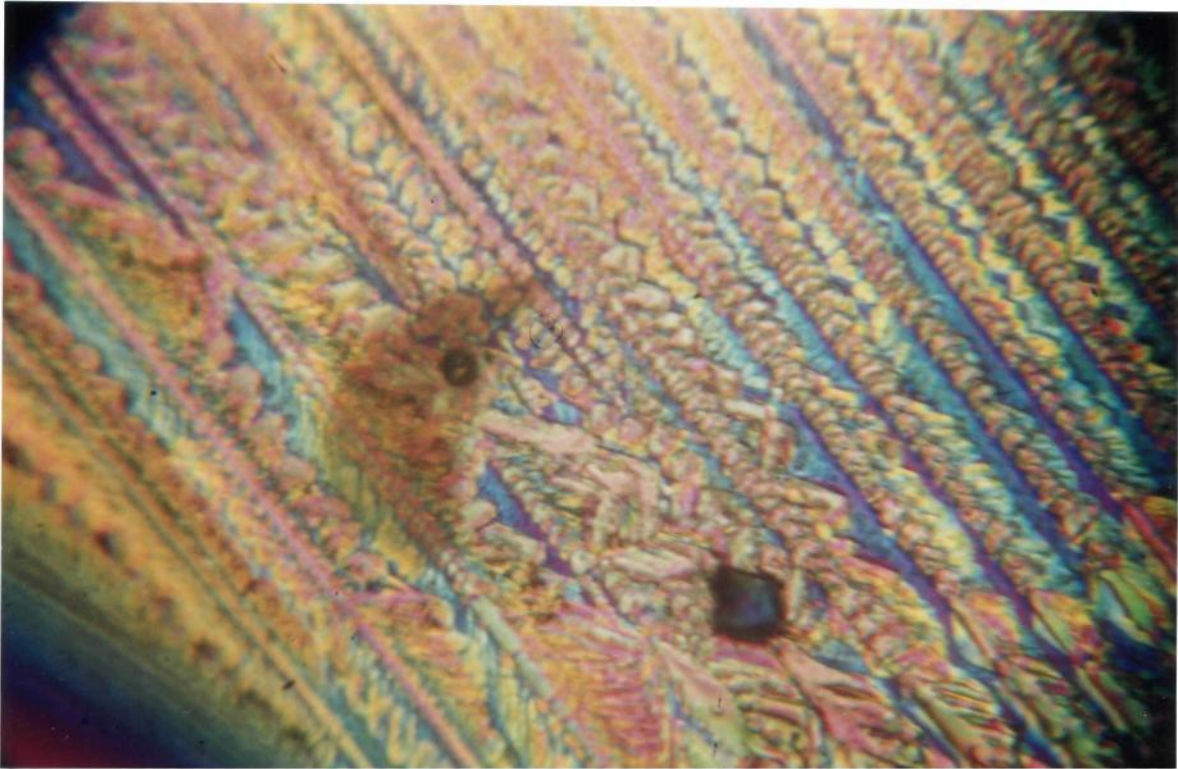


а



б

Рис. 4 а-в см на обороте



В

Рис 4 а-в. Воздействие ЛАД на ЭИП щитовидной железы а -  
исходная структура, присутствует ИБ б - спустя 20  
мину  
в - спустя 40 минут, ориентированная  
спиралеобразная структура, информационный флер

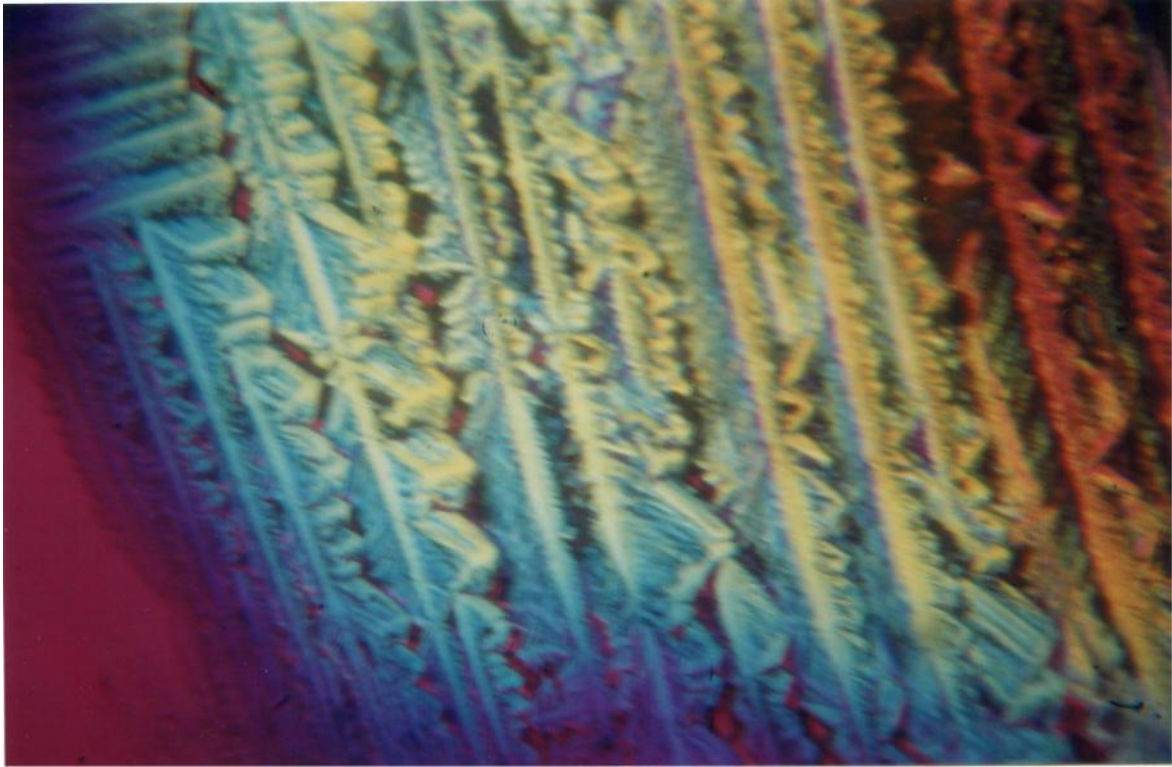
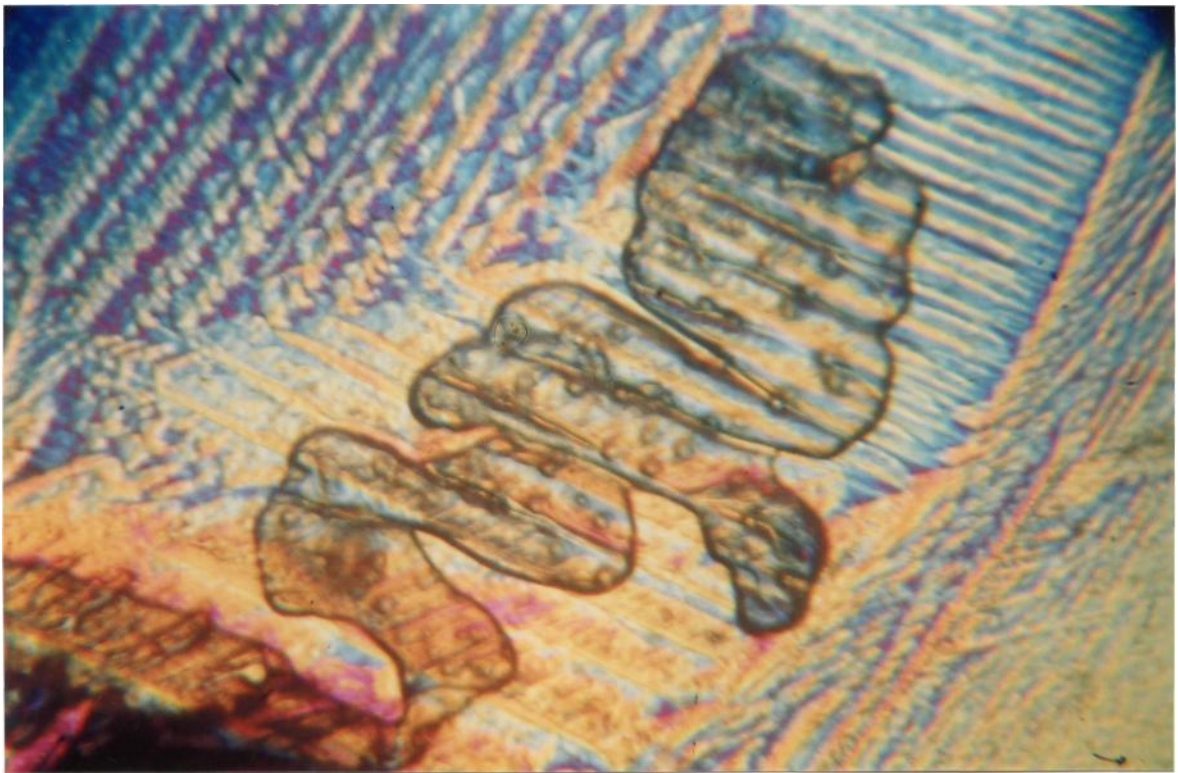


Рис. 5 а-в. Влияние ЛАД на ЭИП сердца: а - исходная структура, присутствует ИБ б - спустя 20 минут, виден ИФ в - Спустя 40 минут появилась ориентированная структура



а

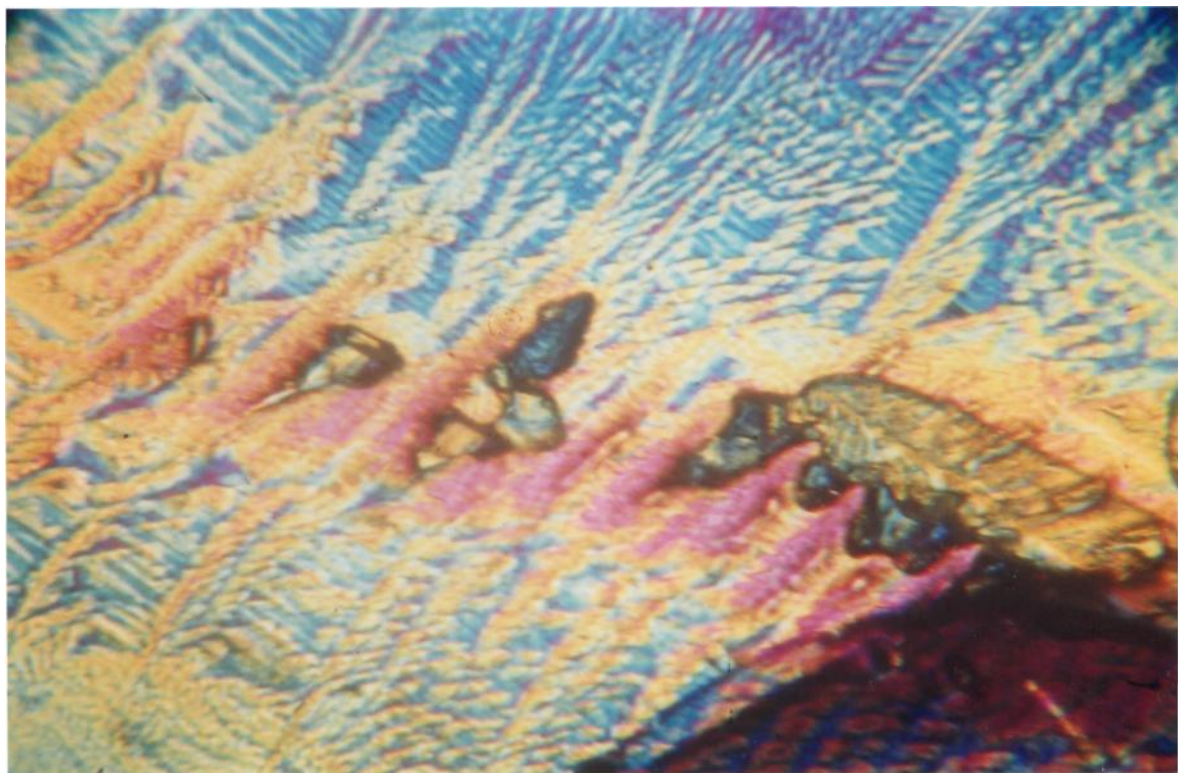


Рис. 5 а-в, см на обороте

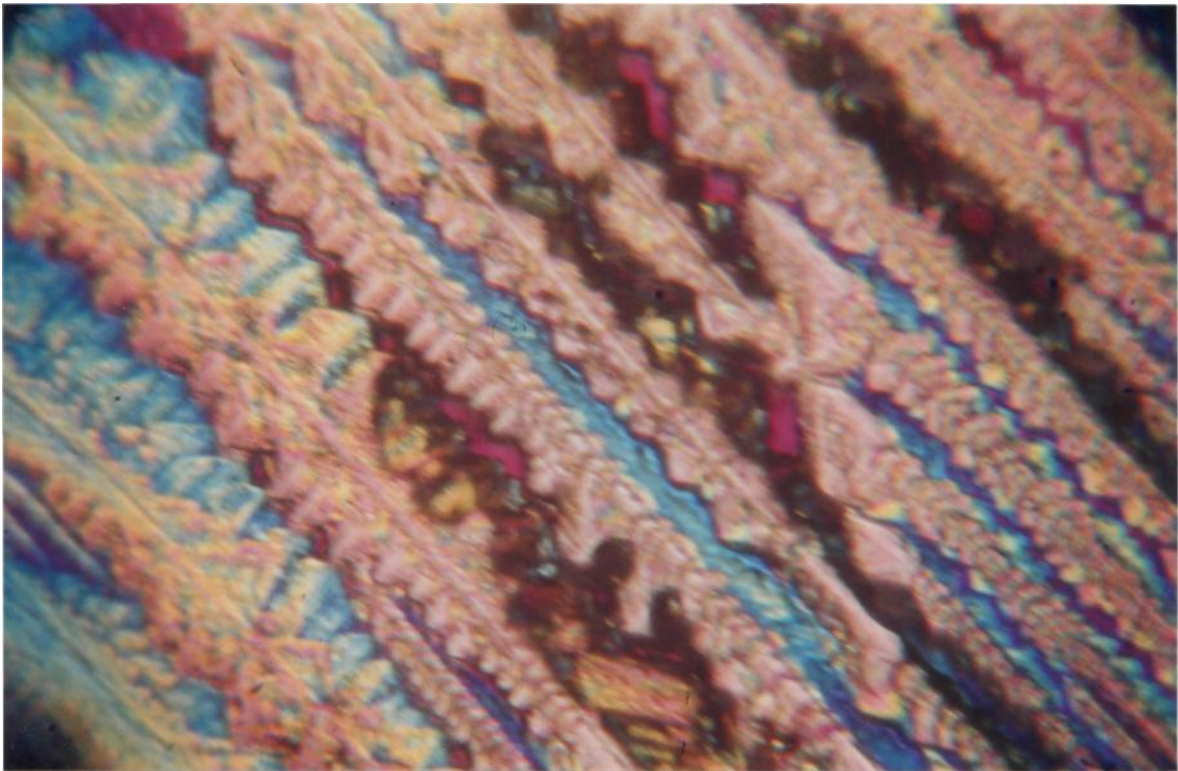
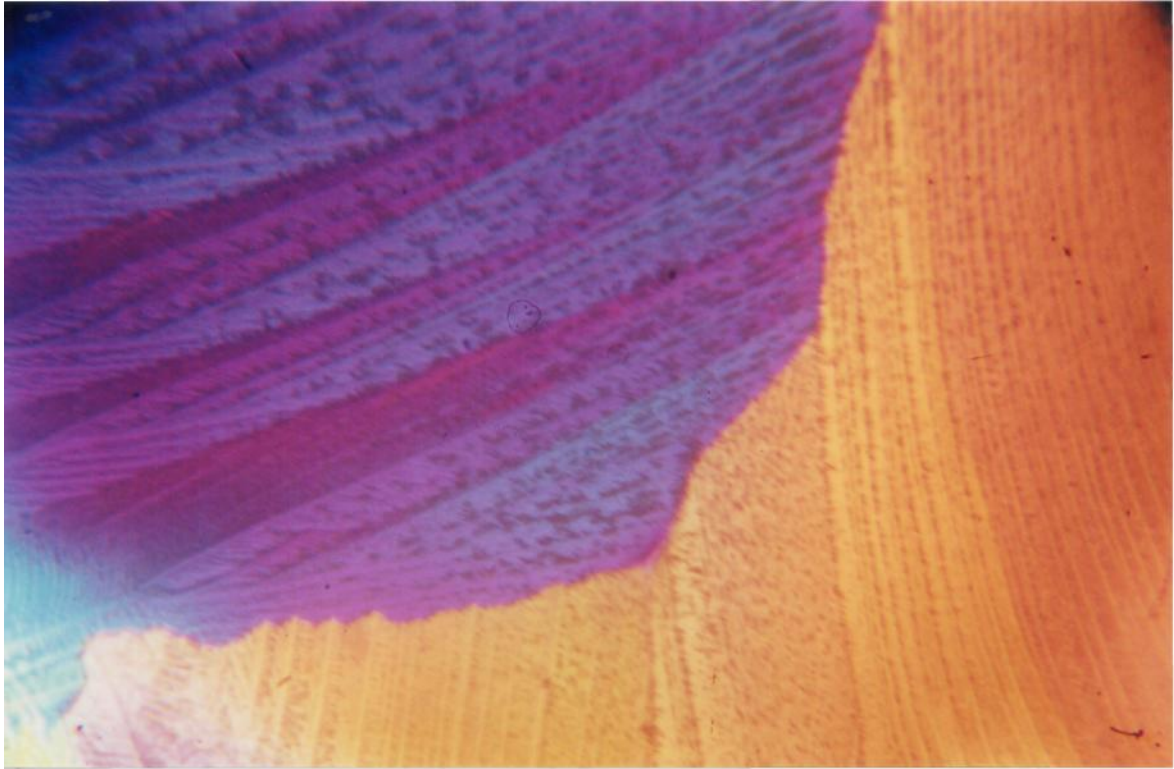


Рис. 6 а-в. См на обороте

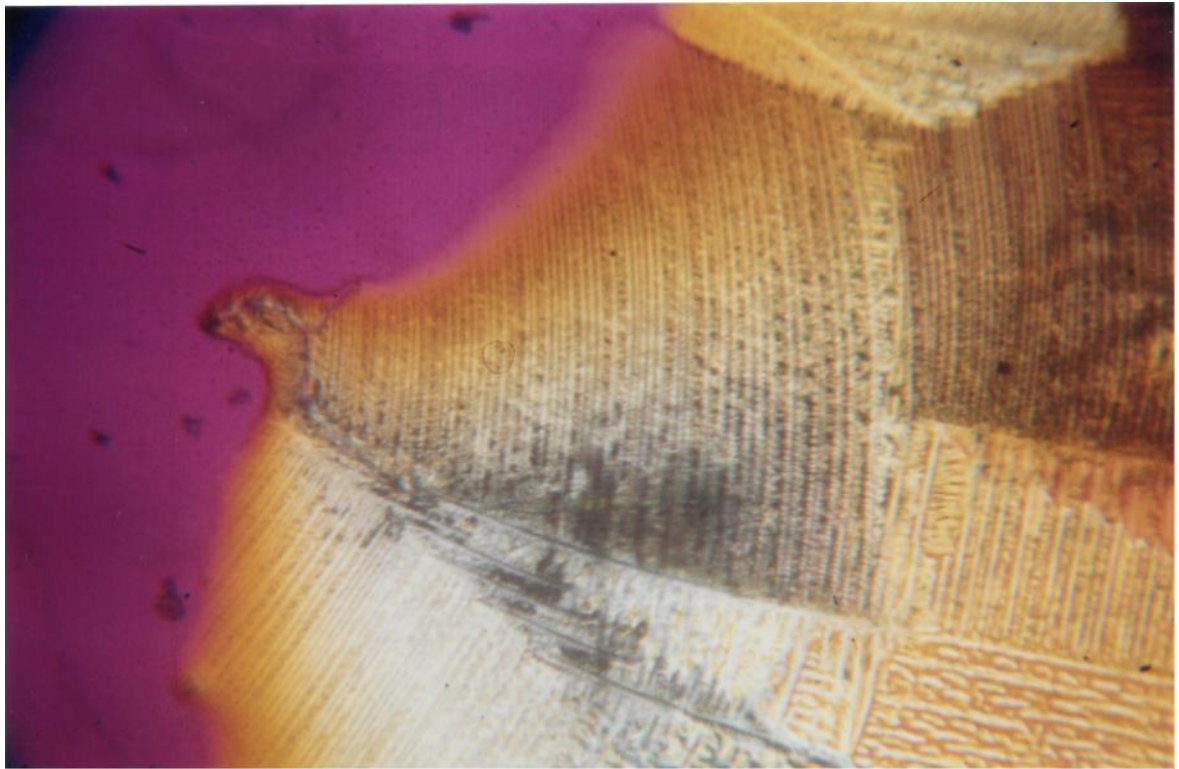
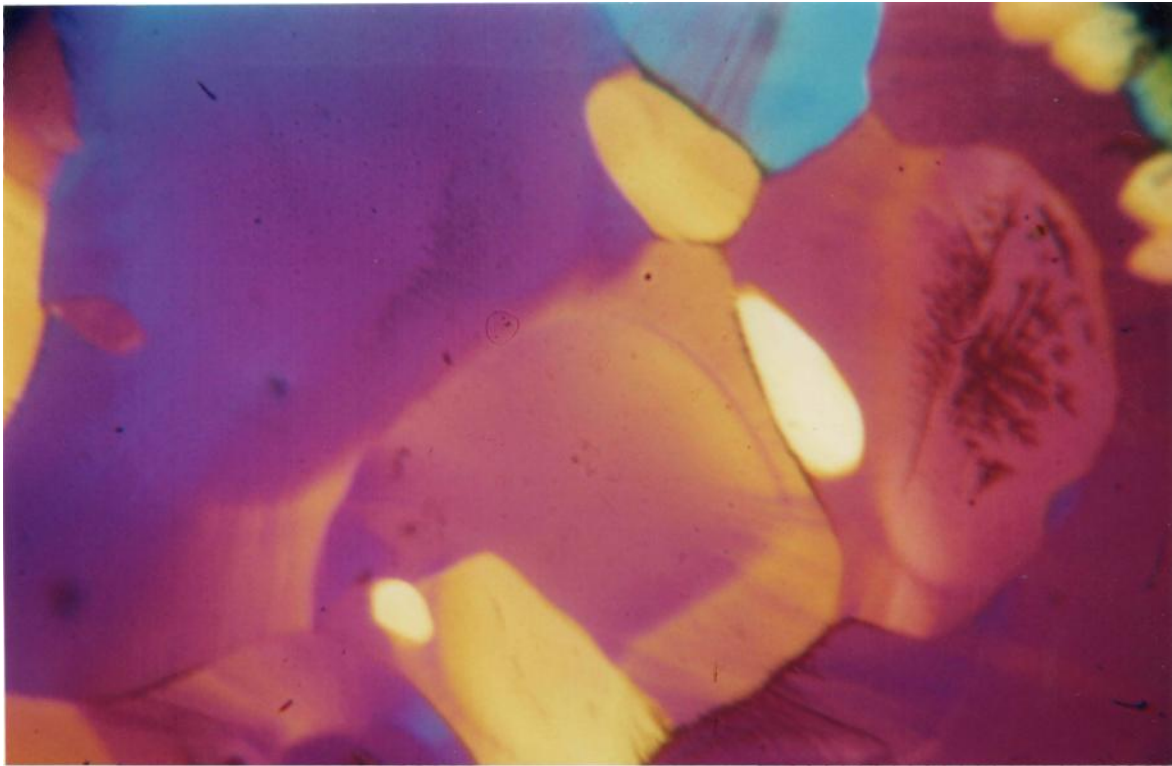


Рис. 6 а-в. Влияние ЛАД на ЭИП солнечного сплетения  
а - исходная структура б - спустя 20 мин в  
- спустя 40 мин



в - сердце

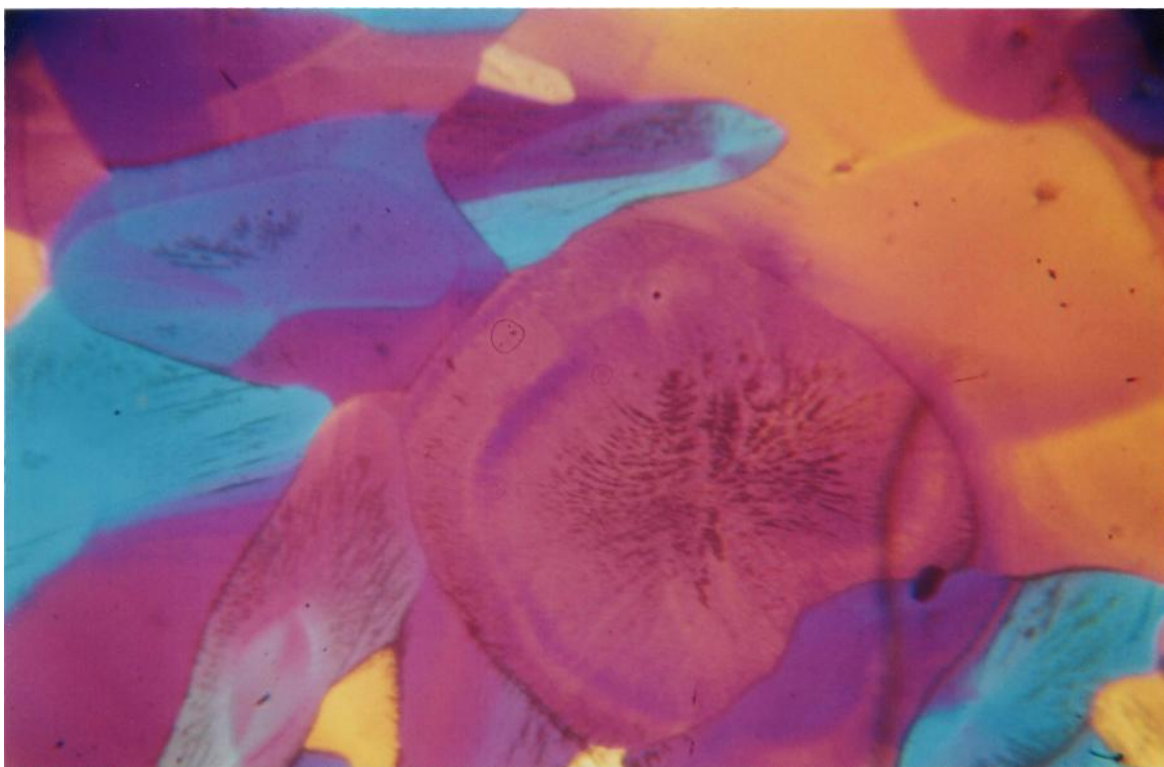


Рис. 7 а-г Исходная реакция БТС на клеточном уровне при регистрации информационного излучения энергетических зон

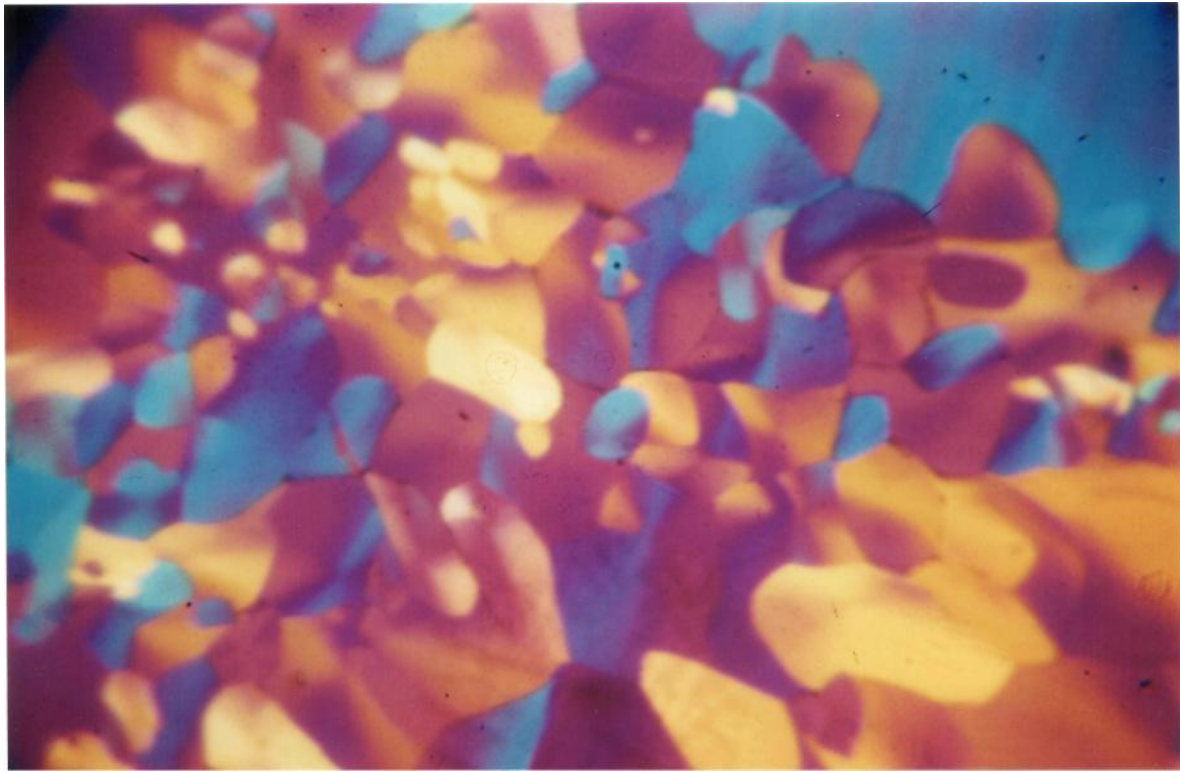


а - ГОЛОВНОГО МОЗГА

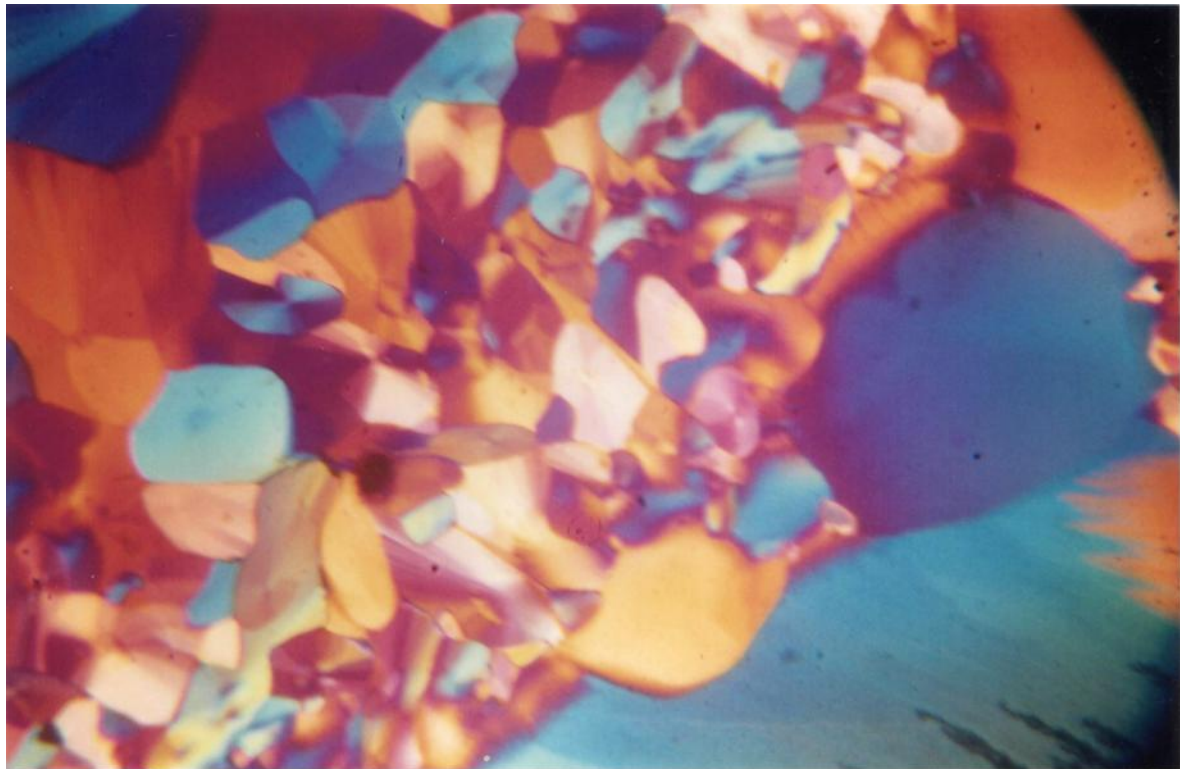


б - щитовидная железа

Рис. 7 а-г. Исходная реакция БТС /клеточный уровень/ на энергетическое излучение исследуемых зон



а - /ГОЛОВНОЙ МОЗГ/



б - щитовидная железа Рис. 8 а-г.

Реакция на воздействие ЛАД, клеточный уровень

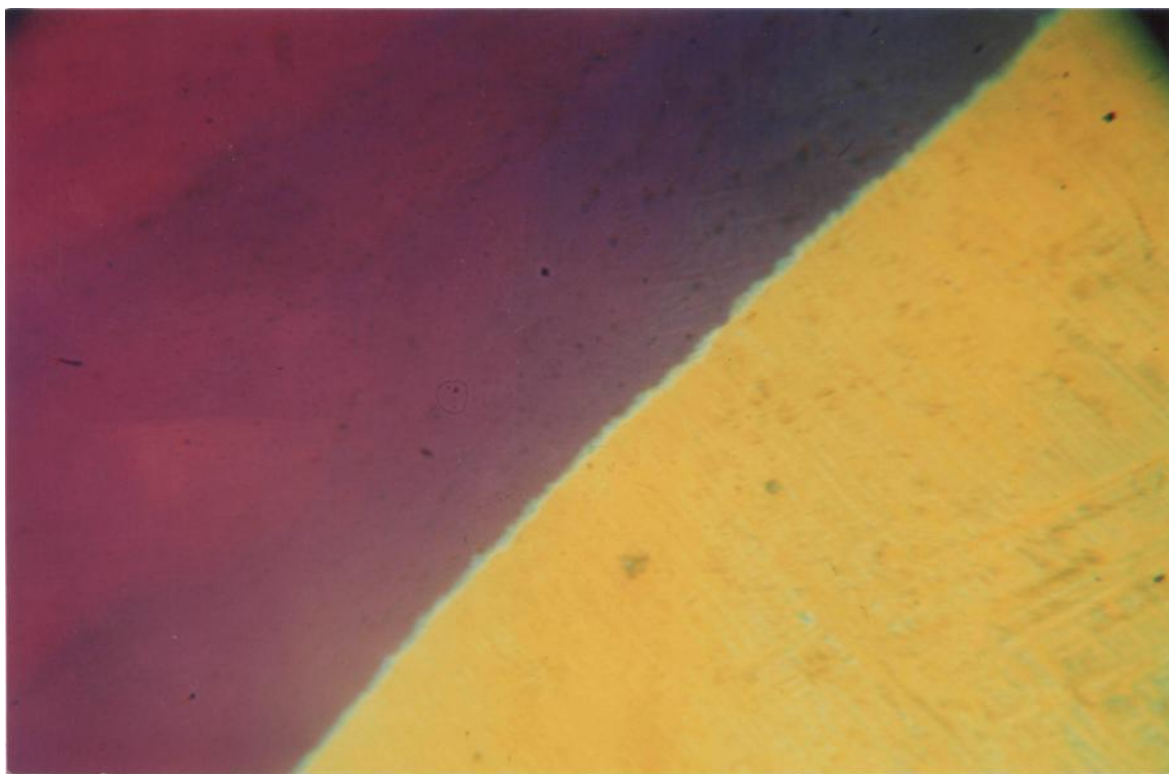


в - сердце



кластеры

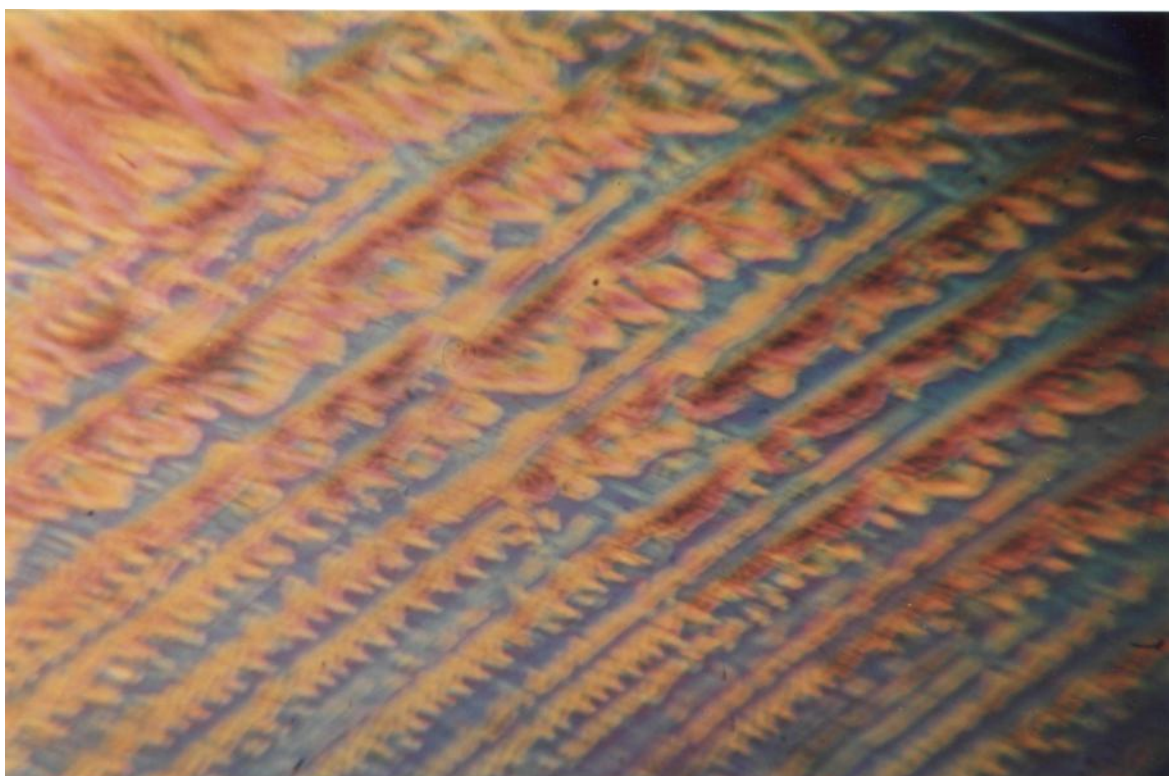
Рис. 8 а-г. Реакция на воздействие ЛАД



а



Рис. 9 а,б. ИЭП сотового телефона волонтера Ж. а - исходное фоновое ИЭП б - информационное загрязнение



а

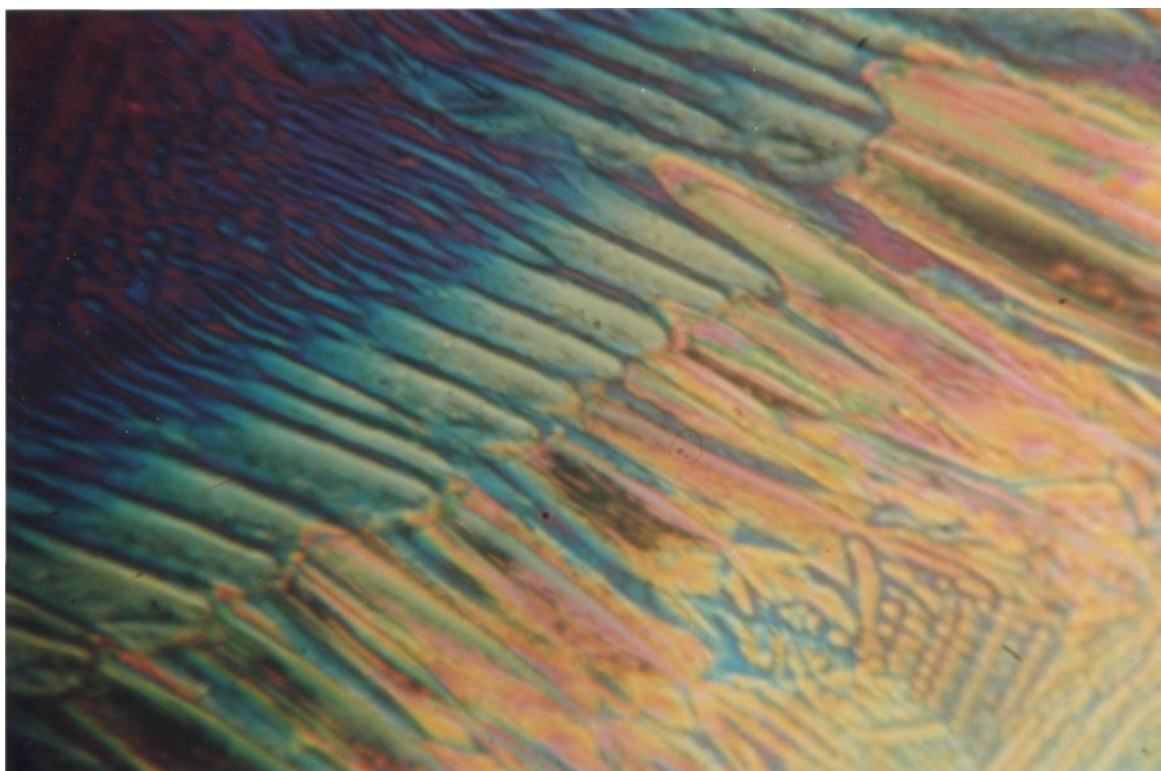


Рис. 10 а-в. См на обороте

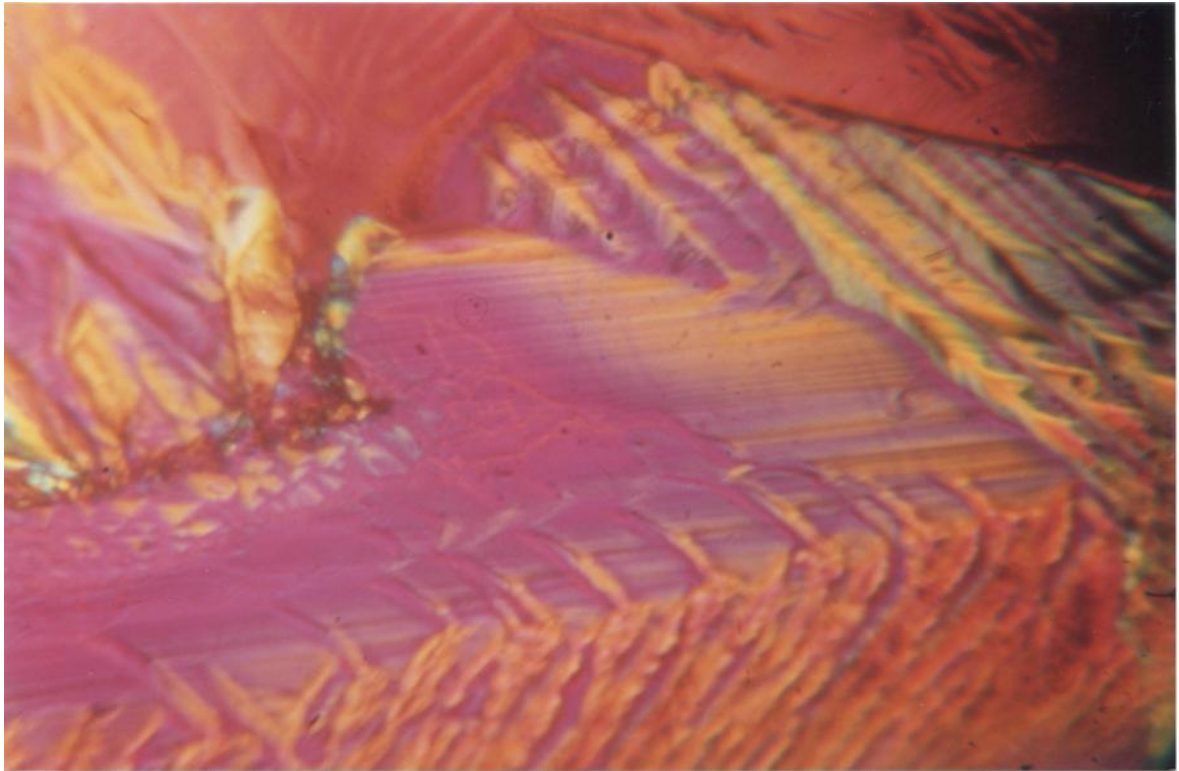
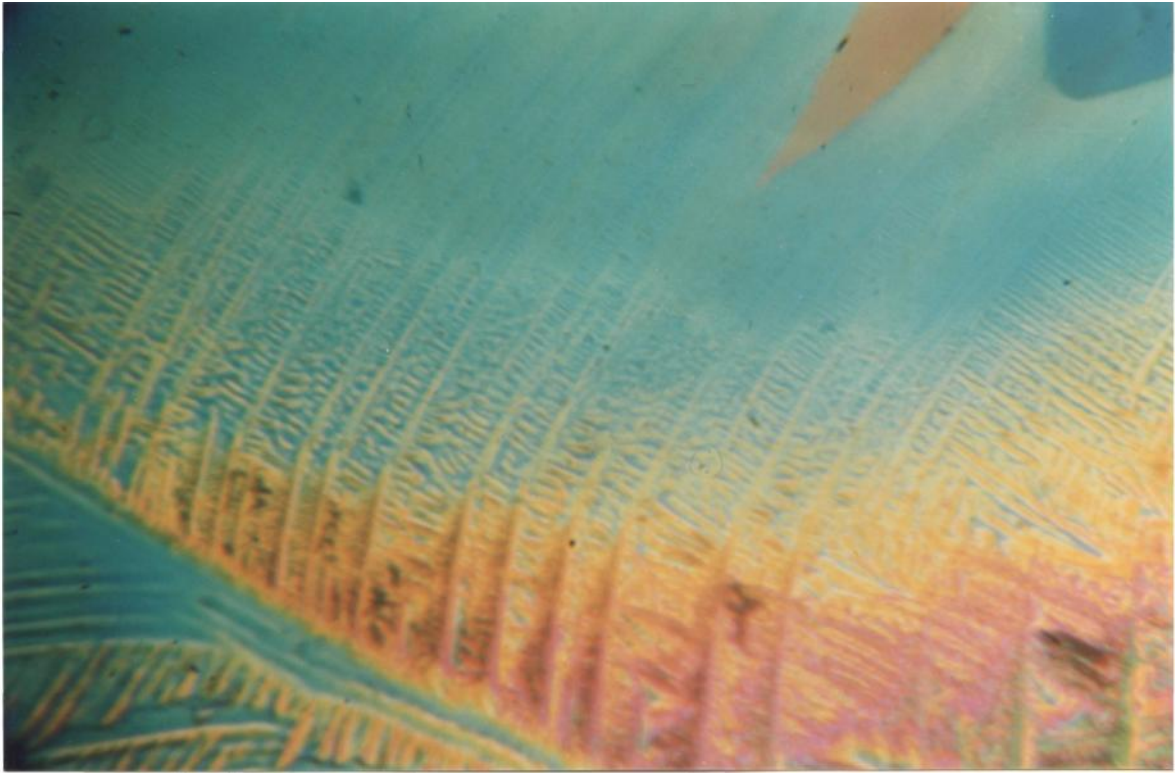


Рис. 10 а-в. ЭИП головного мозга волонтера Ж.  
а - исходное б - начало разговора в -  
спустя 2 мин



а

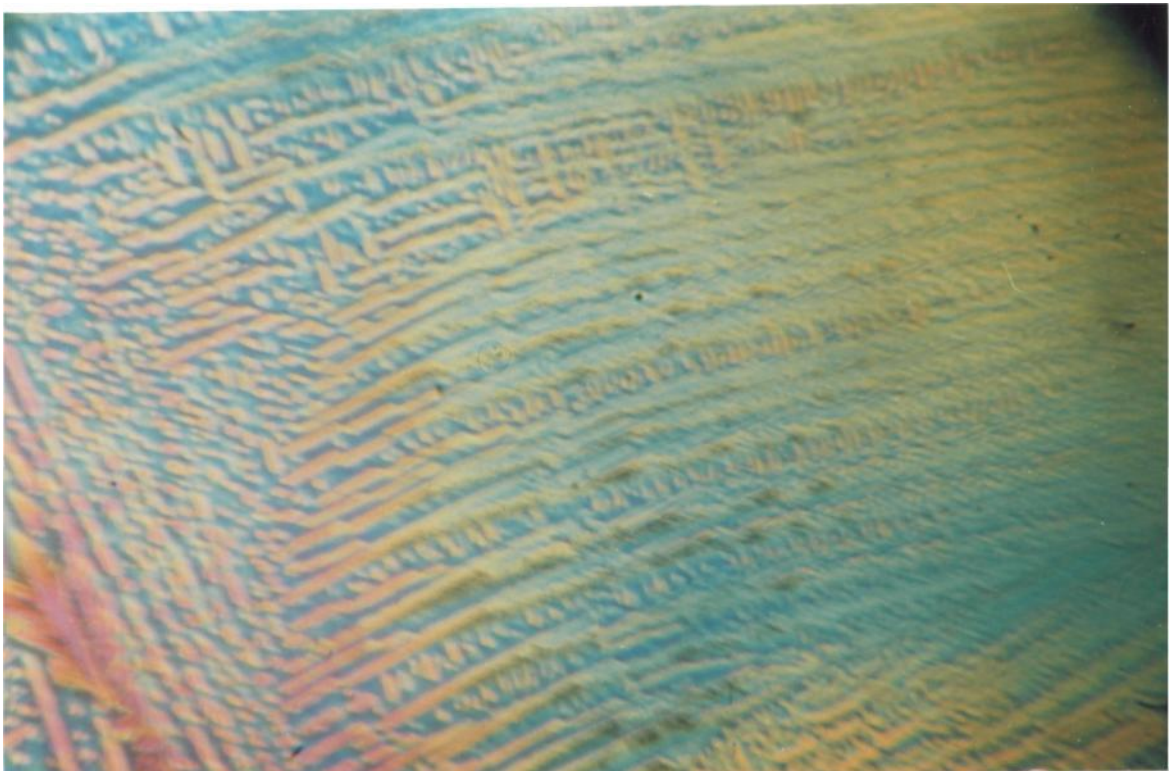


Рис. 11 а, б. Влияние диска ЛАД на ЭИП головного мозга волонтера Ж.: а - через 2 мин б - через 5 мин



а

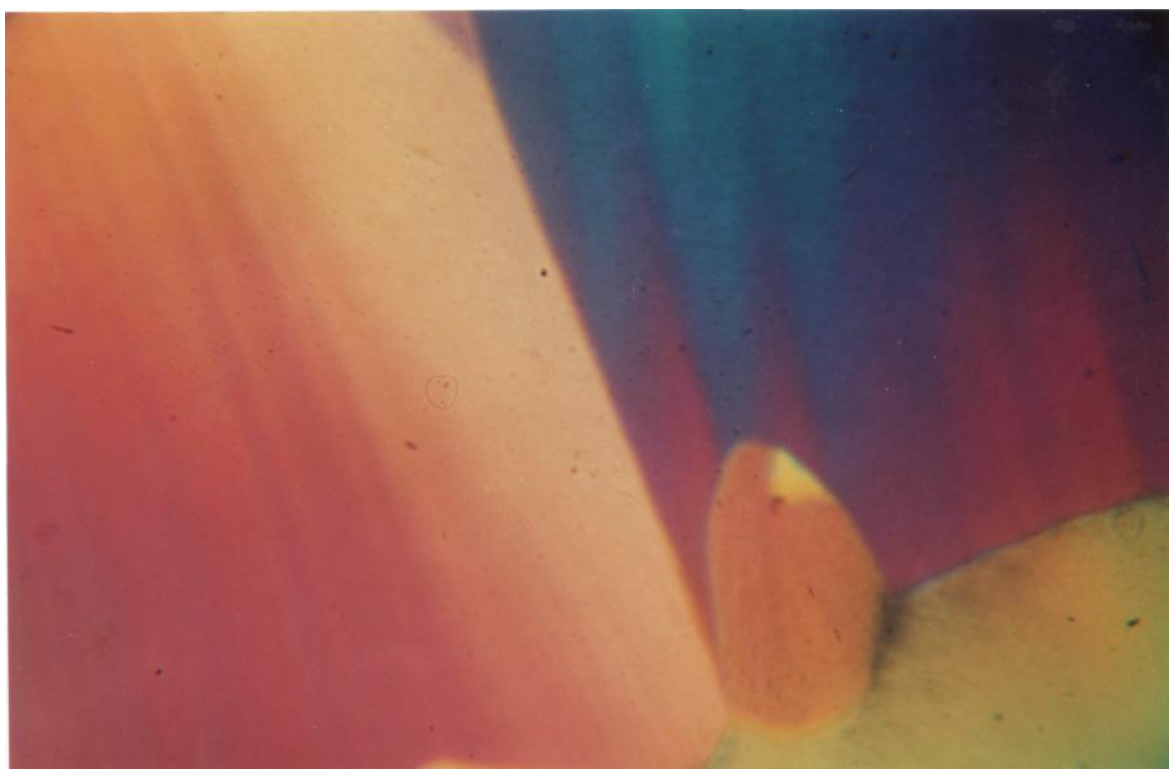


Рис. 12 а-в. См на обороте.

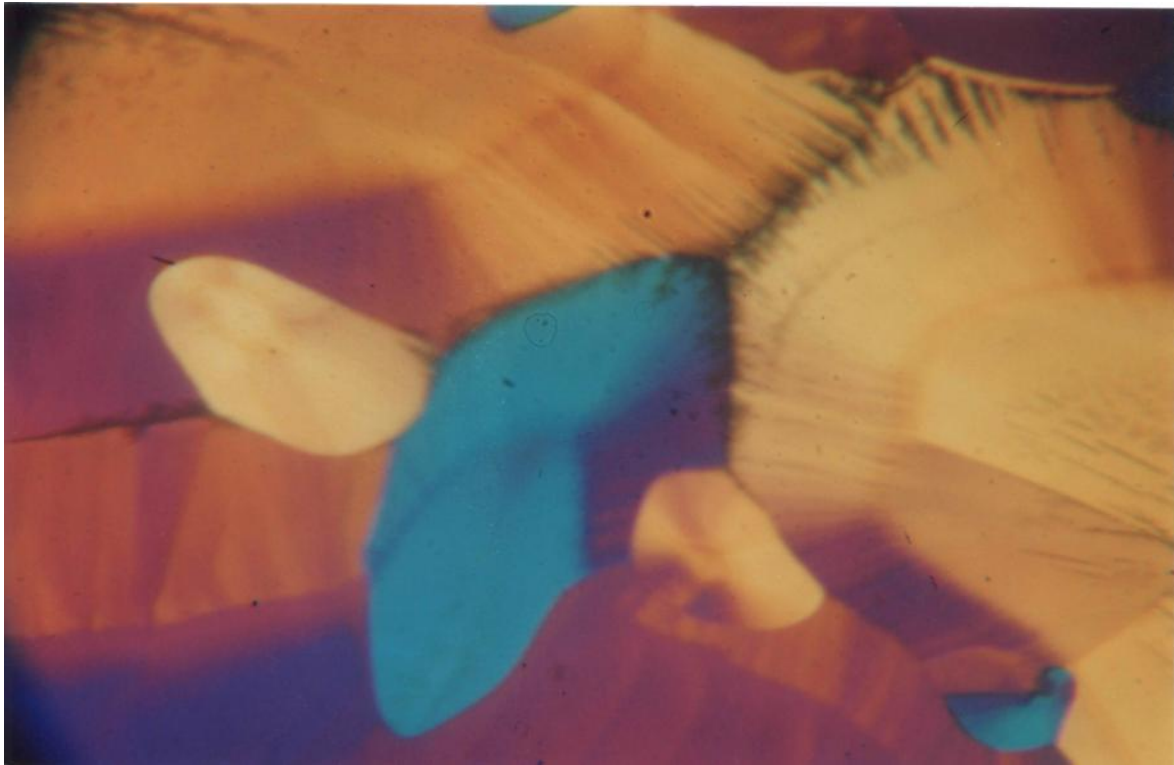


Рис. 12 а-в. Эффект воздействия на клеточном уровне а -  
исходные клеточные элементы  
б - момент «энергетического взрыва» на включенный телефон в  
- погашение «энергетического взрыва» при применении ЛАД

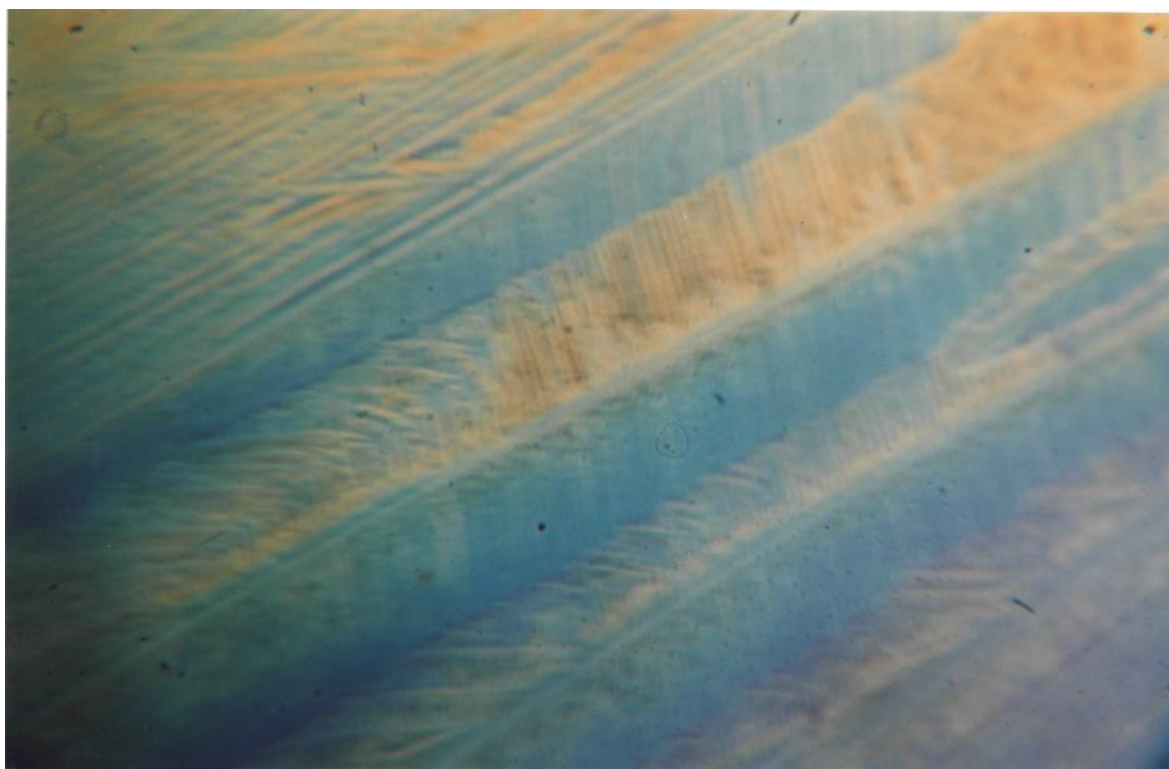


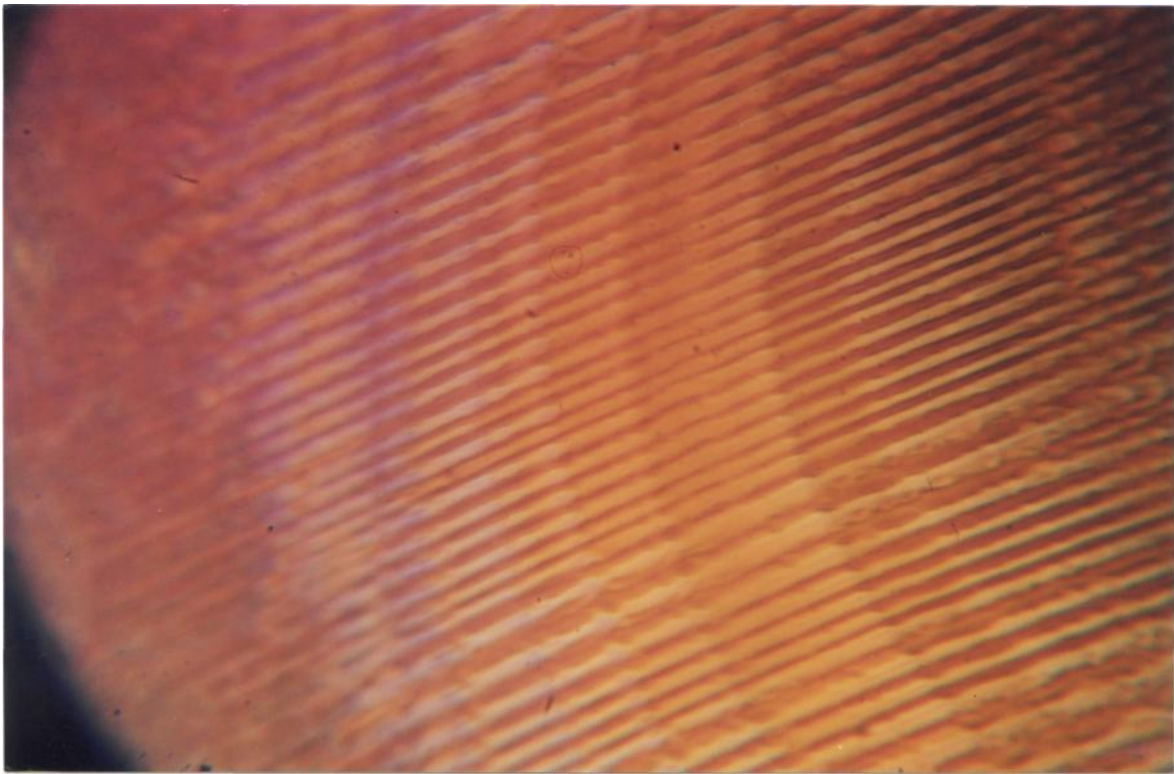
Рис. 14 а-в. Динамика изменений ЭИП головного мозга волонтера

А: /Светлица-супер/

а - исходная структура БТС, реакция на  
информационное излучение мозга

б - спустя 20 минут

в - спустя 40 минут



а

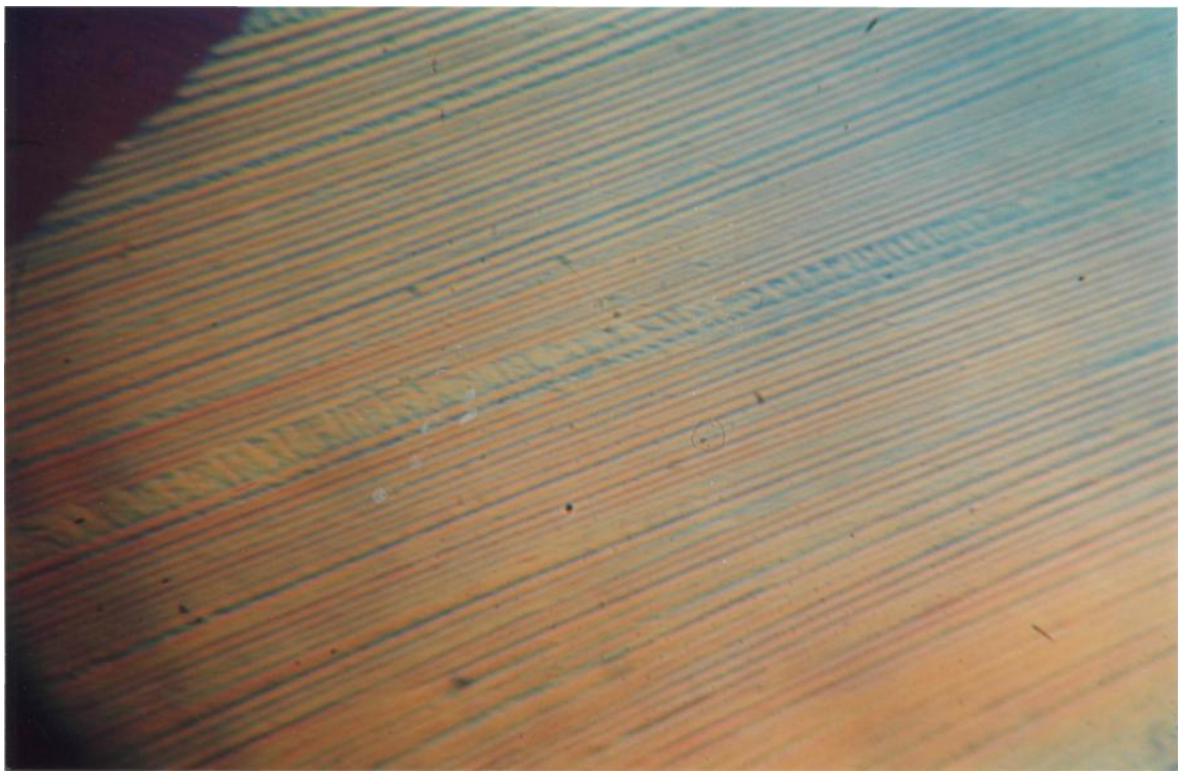
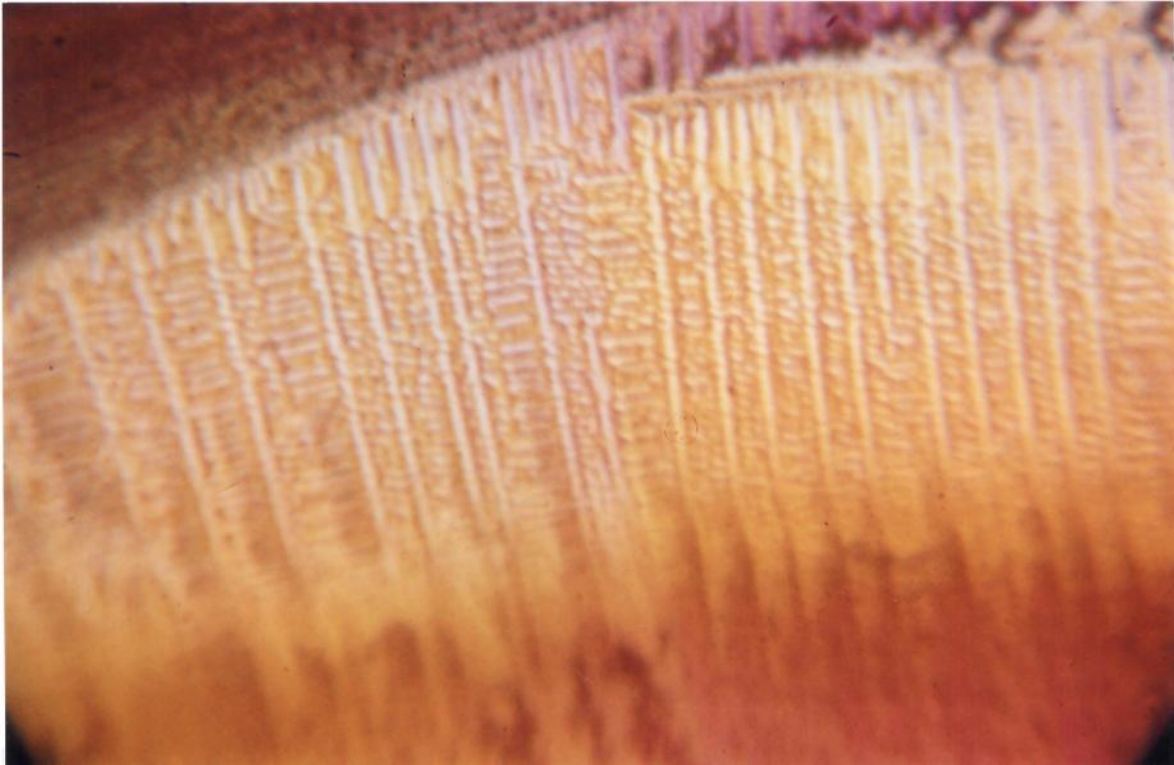


Рис. 14 а-в. См на обороте



а

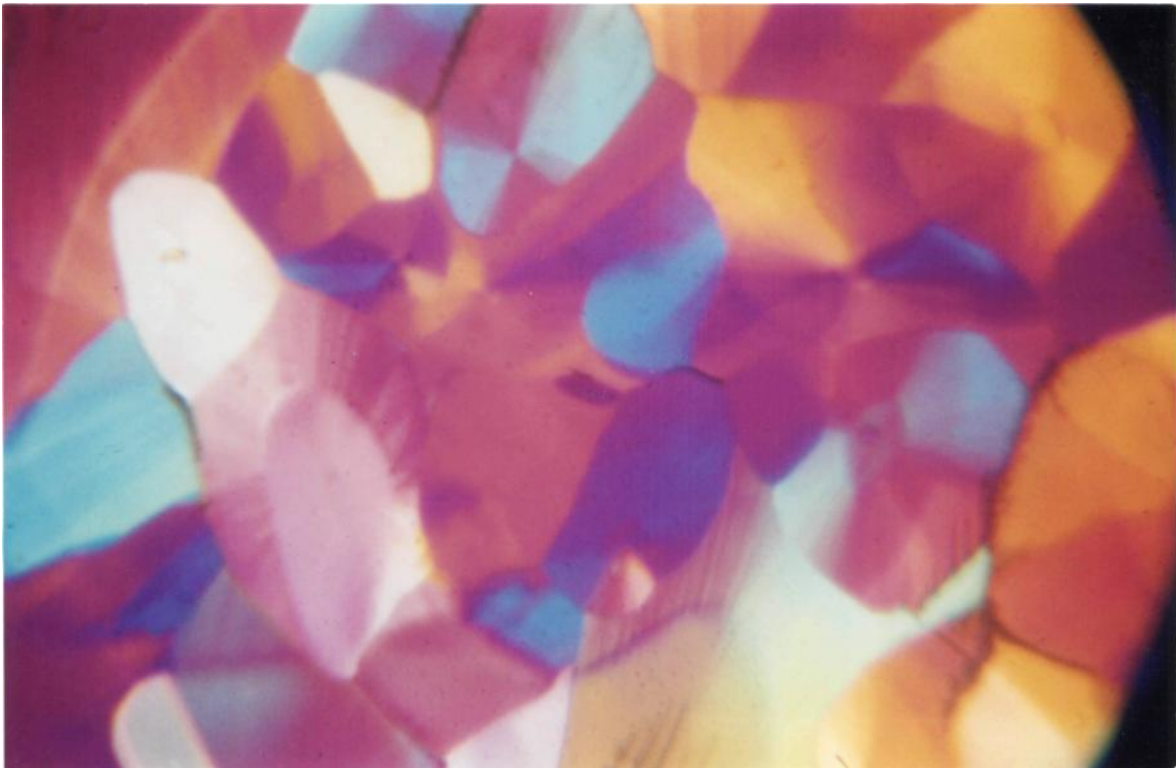
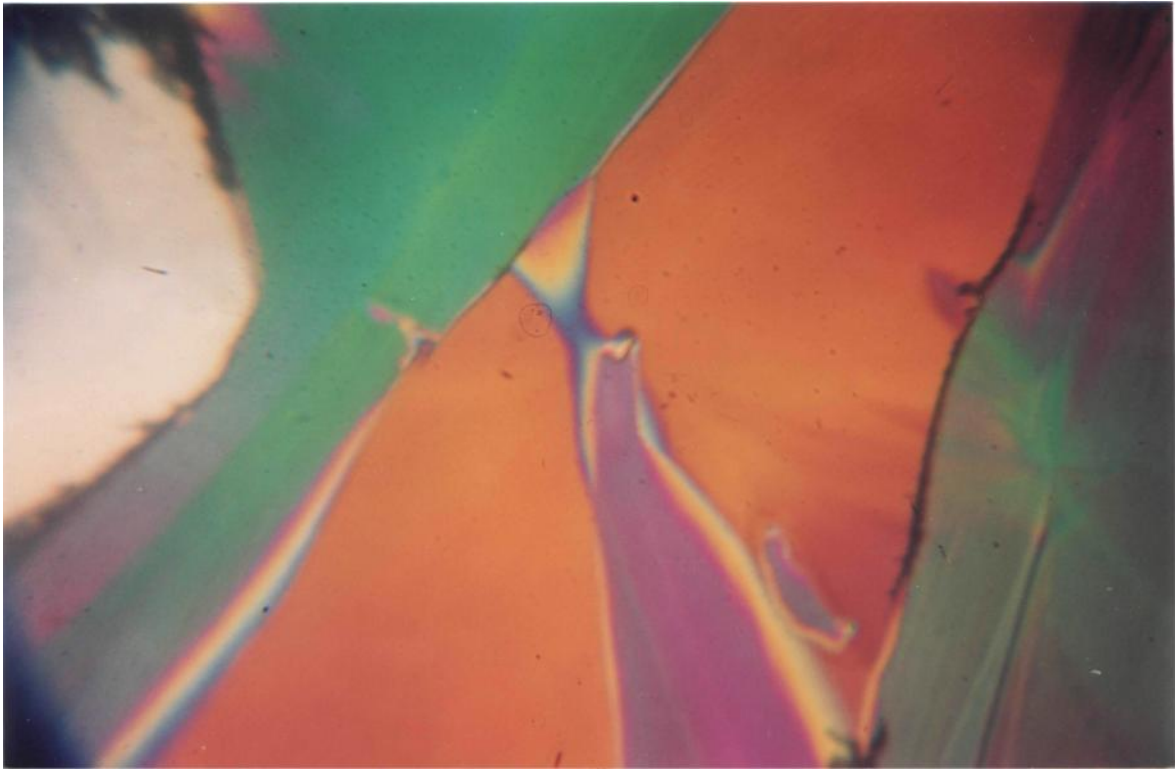


Рис. 13 а,б. Энергоинформационное поле (ЭИП) диска  
Светлица - Супер: а - ориентированная  
структура б - построение клеточных элементов



а

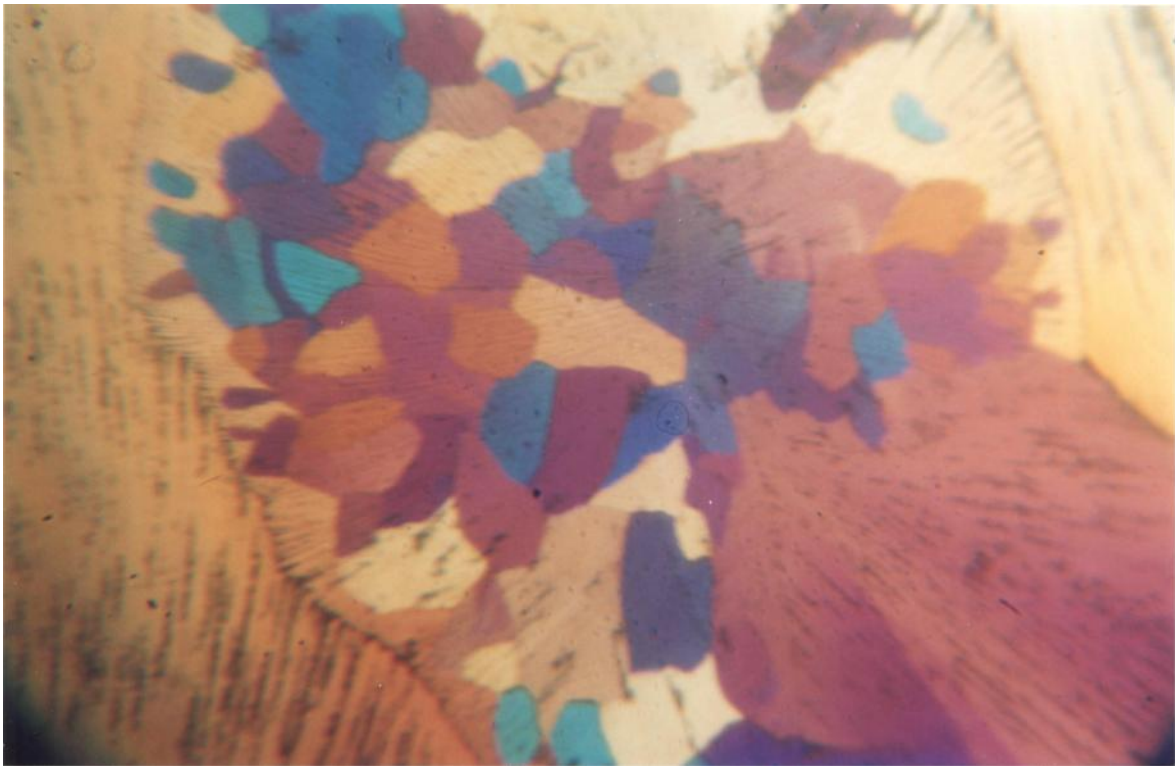
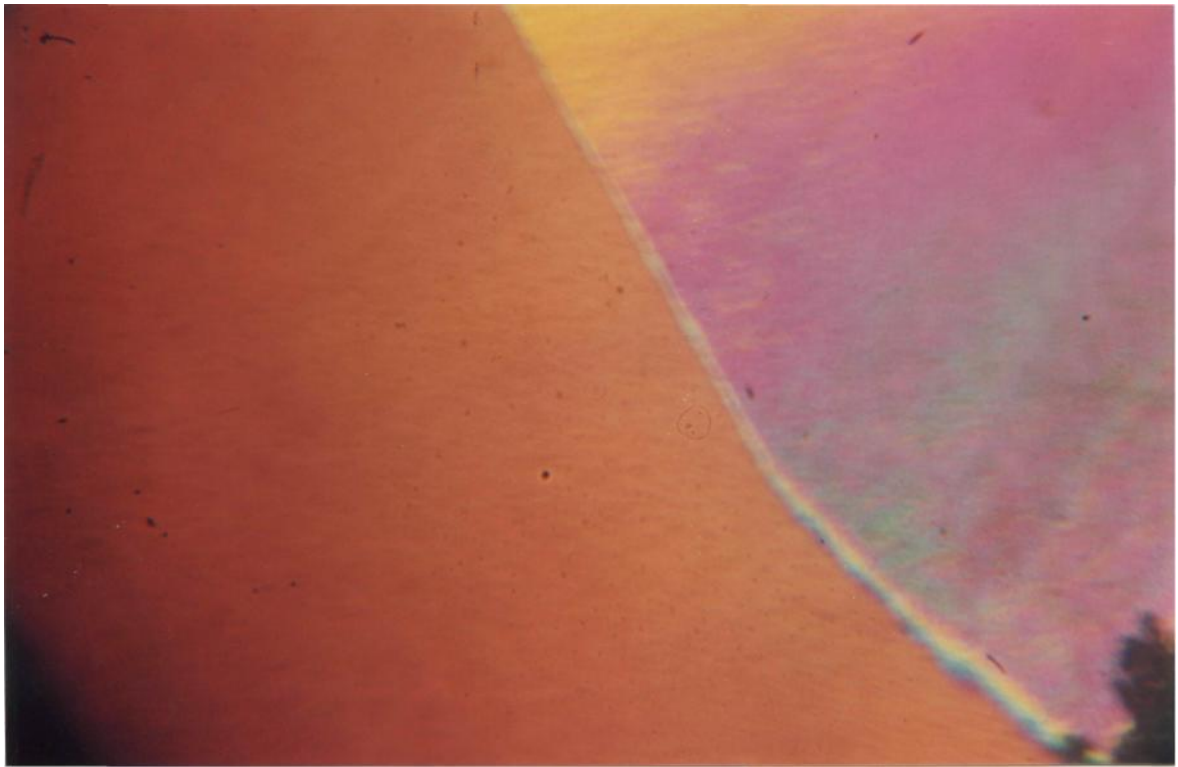


Рис. 15 а,б. Реакции клеточных элементов БТС на применение адаптера Светлица - Супер волонтером А.: а - исходная б - после применения



а

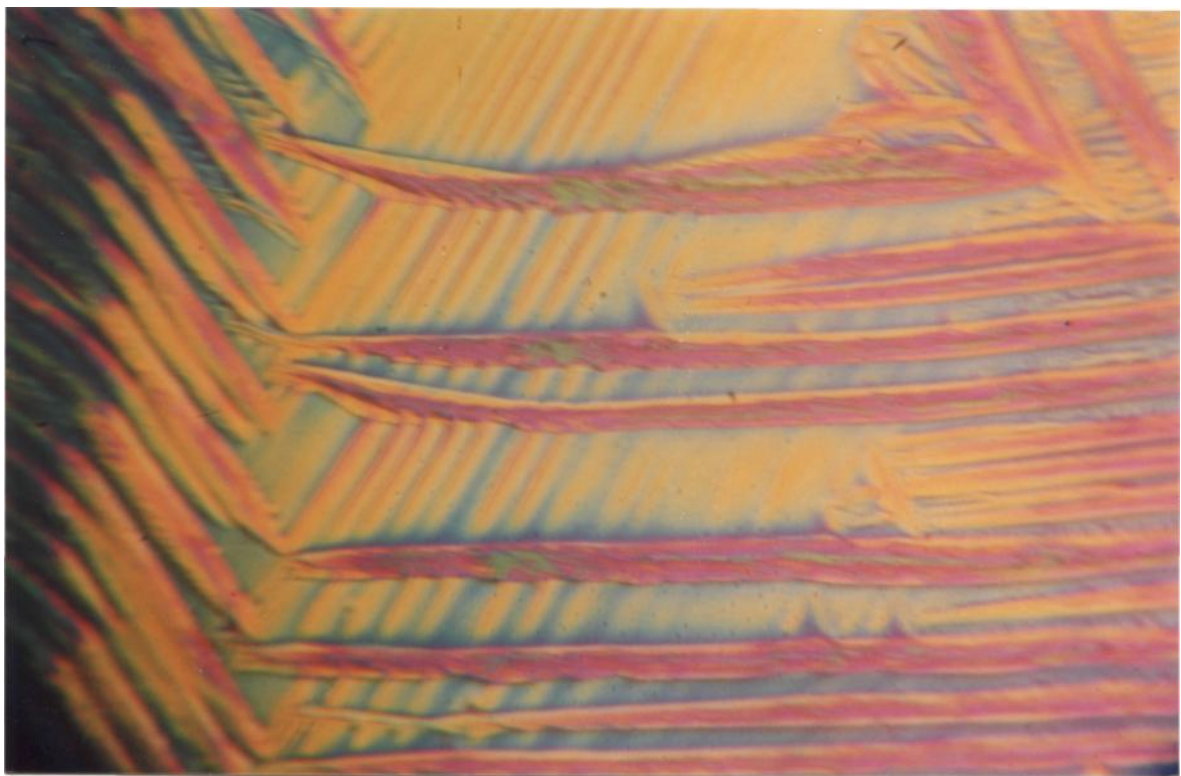
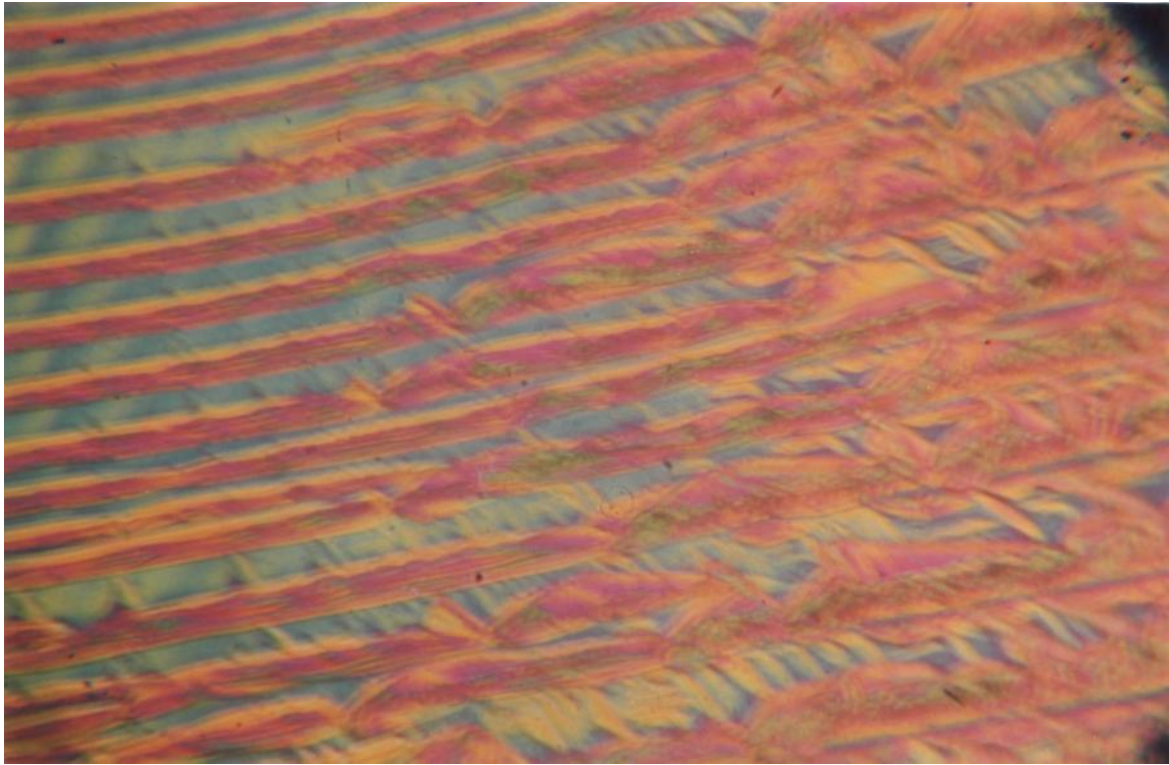


Рис. 16 а-в. См на обороте.



в

Рис. 16 а-в. Динамика изменения ИЭП щитовидной железы волонтера А.: а - исходная б - через 20 минут в - через 40 минут



а

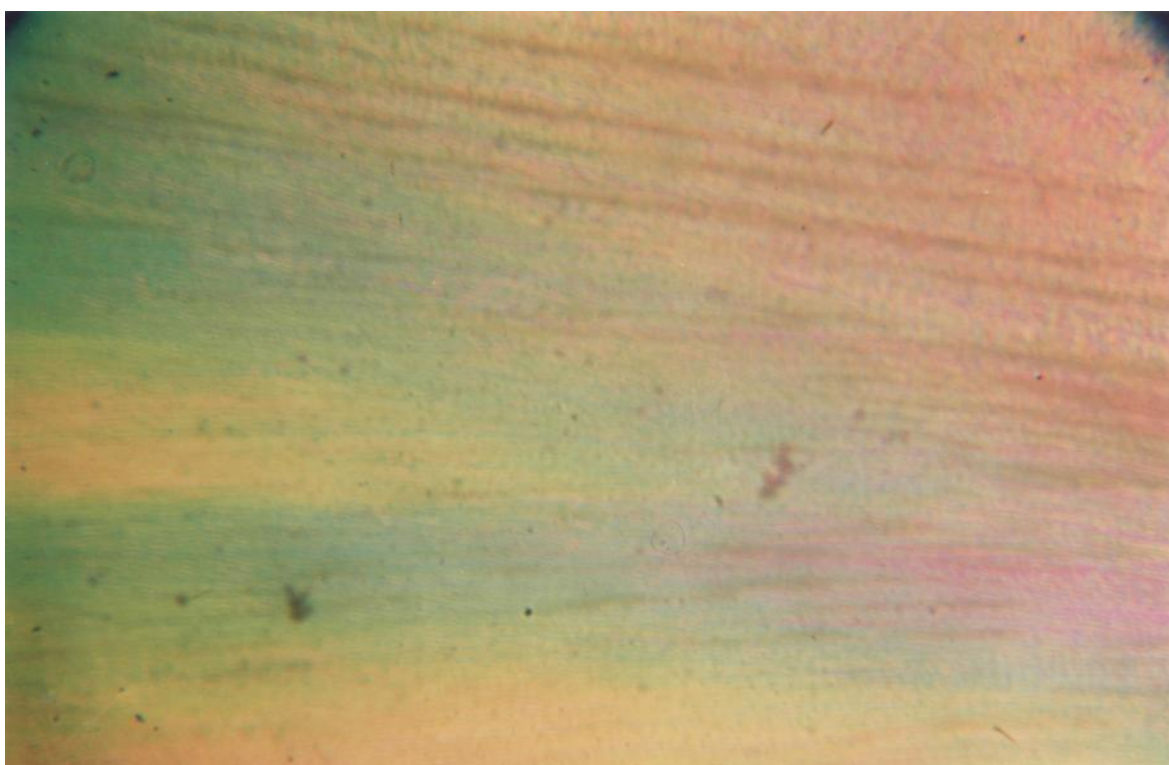


Рис. 17 а-в. См на обороте.

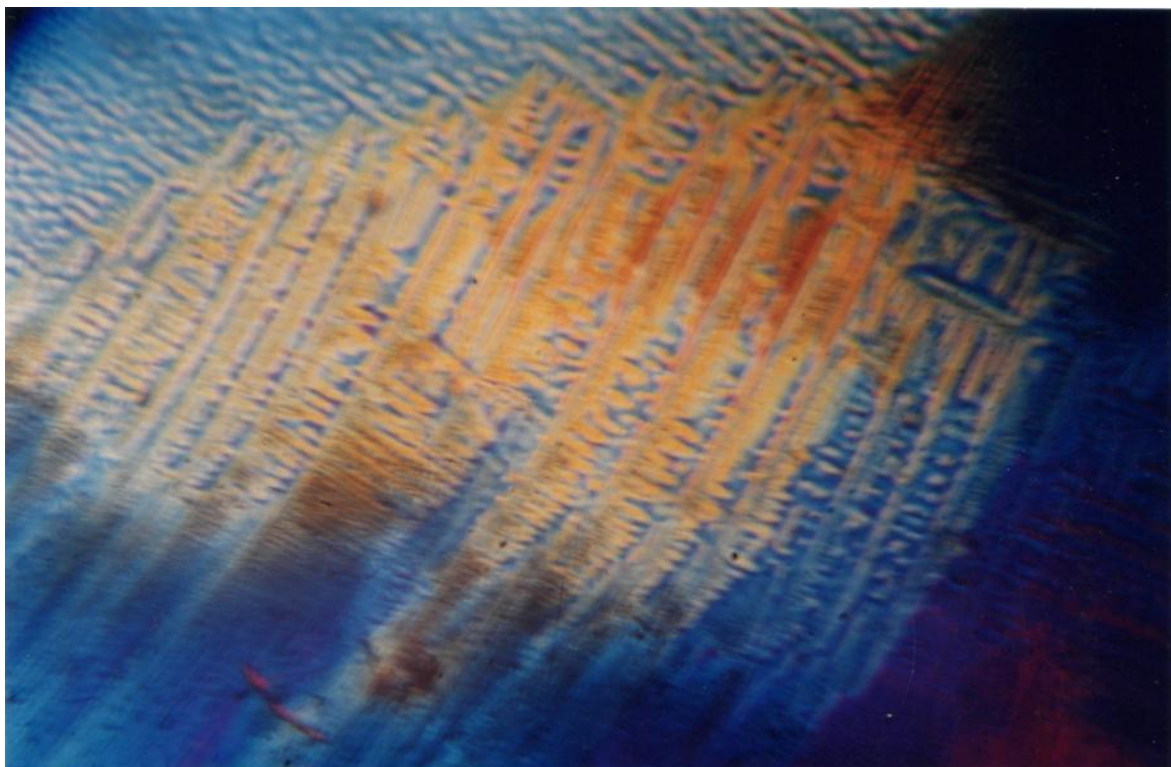


Рис. 17 а-в. Динамика изменения ЭИП зоны проекции сердца волонтера А. на воздействие адаптера, а - исходная, б - через 20 минут в - через 40 минут.



а



Рис. 18 а-в. См на обороте.

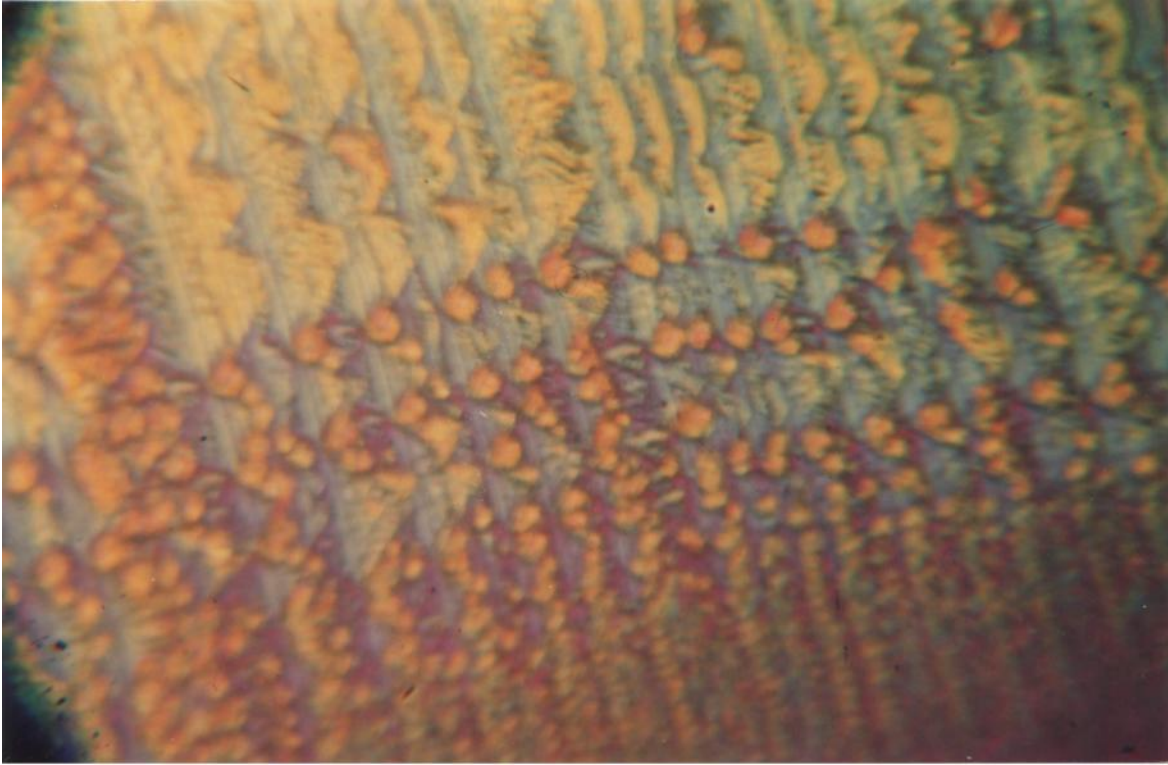
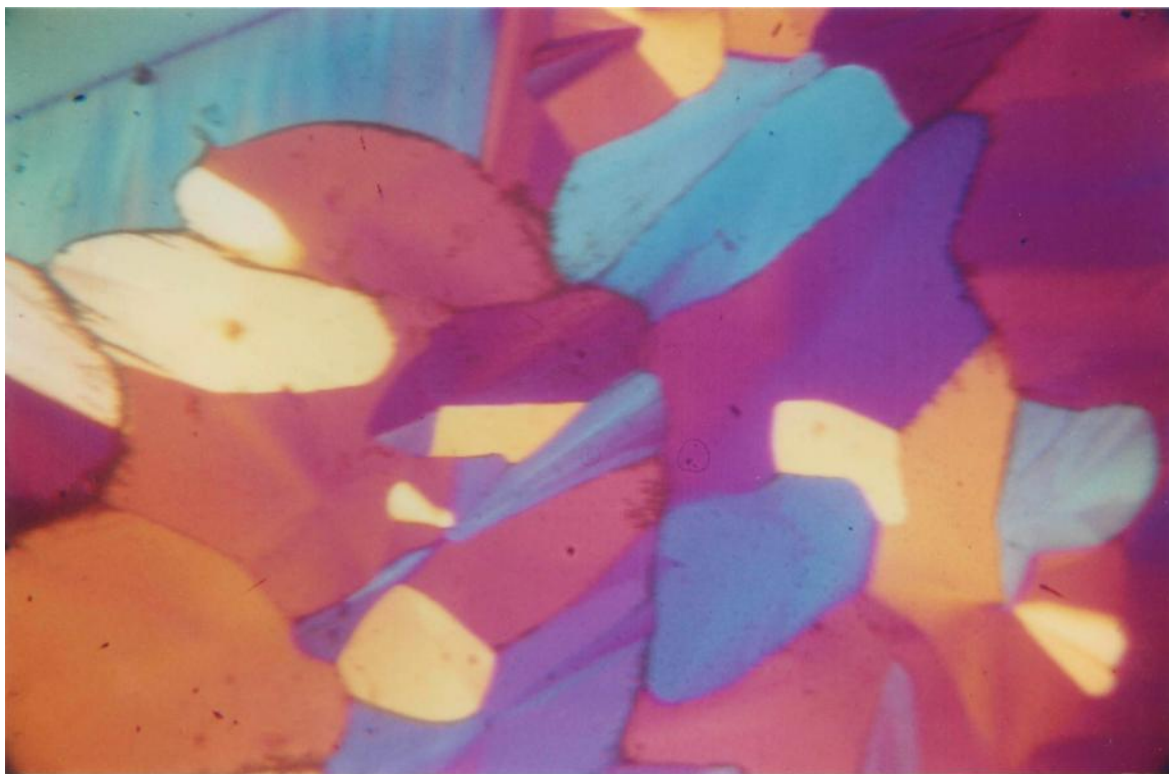


Рис. 18 а-в. Динамика изменения ИЭП зоны  
эпигастрия волонтера А. а - исходная  
б - через 20 мин в - через 40 мин



а

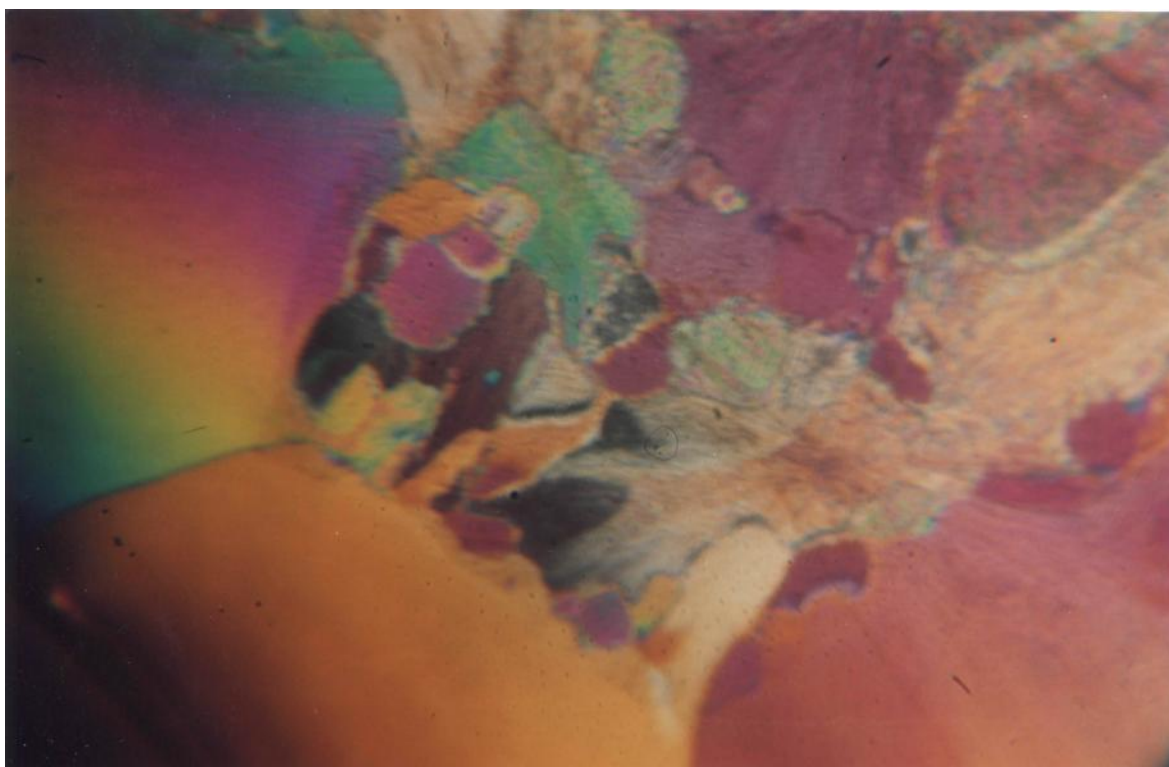


Рис. 19 а-в. См. на обороте.



Рис. 19 а-в. Реакция клеточных элементов БТС  
до применения адаптера: а - щитовидная  
железа б - сердце в - эпигастрий

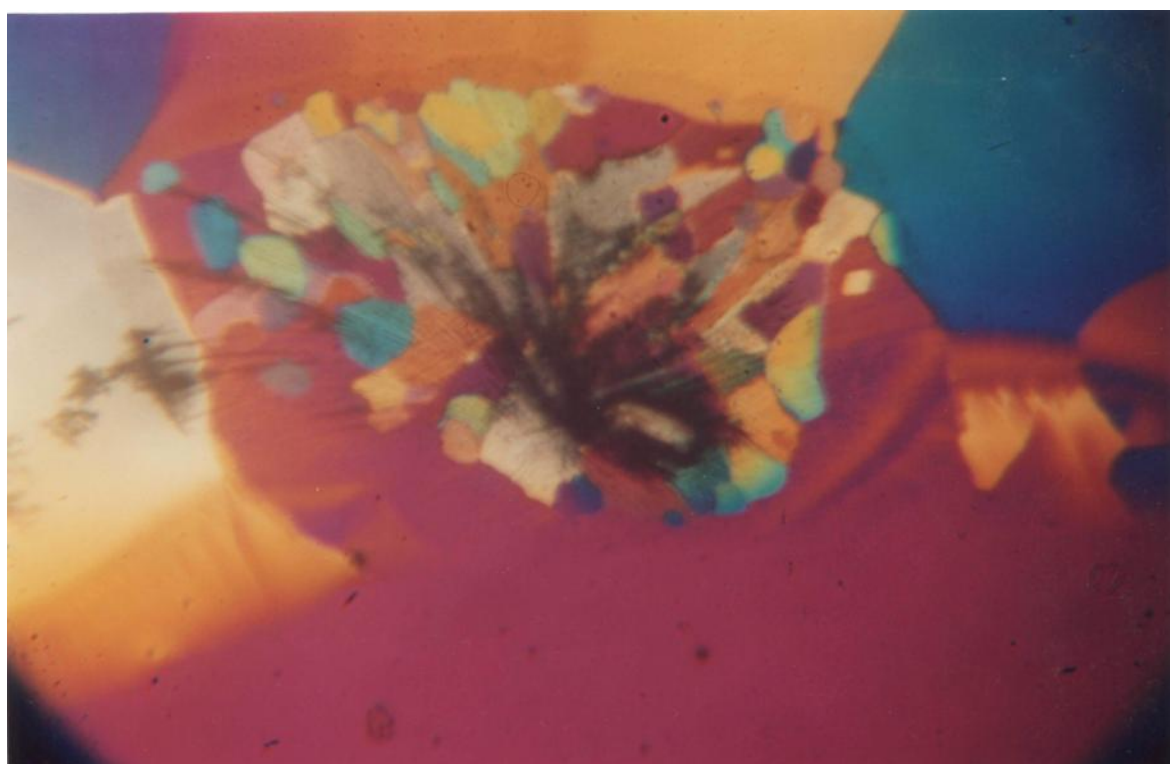
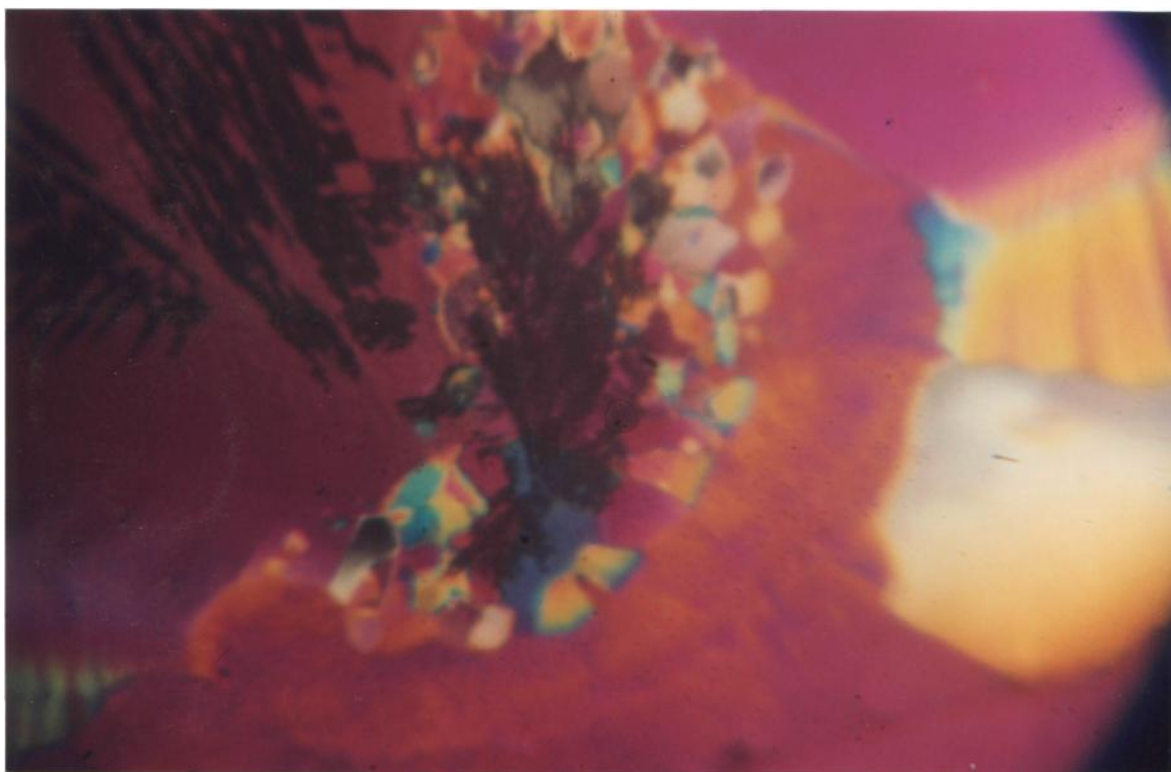


Рис. 20 а-в. См на обороте.



в

Рис. 20 а-в. Реакция клеточных элементов на воздействие адаптеров через 40 минут: а - щитовидная железа  
б - сердце в - эпигастрий

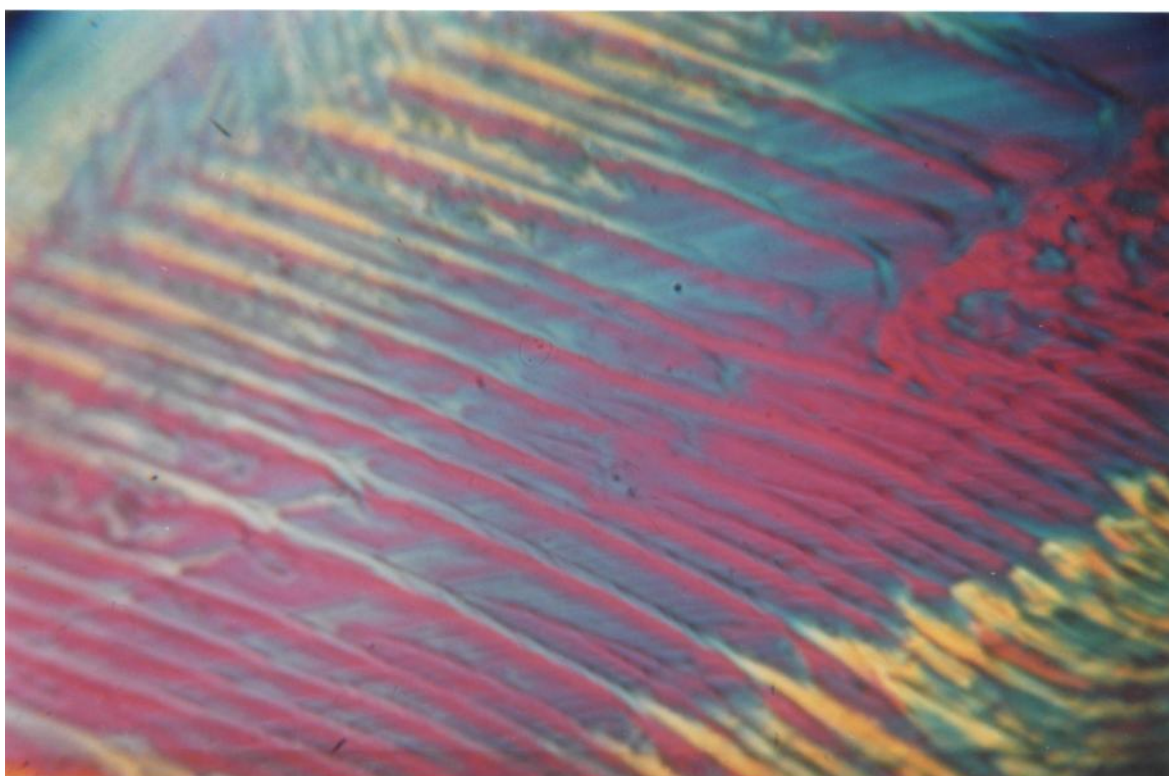
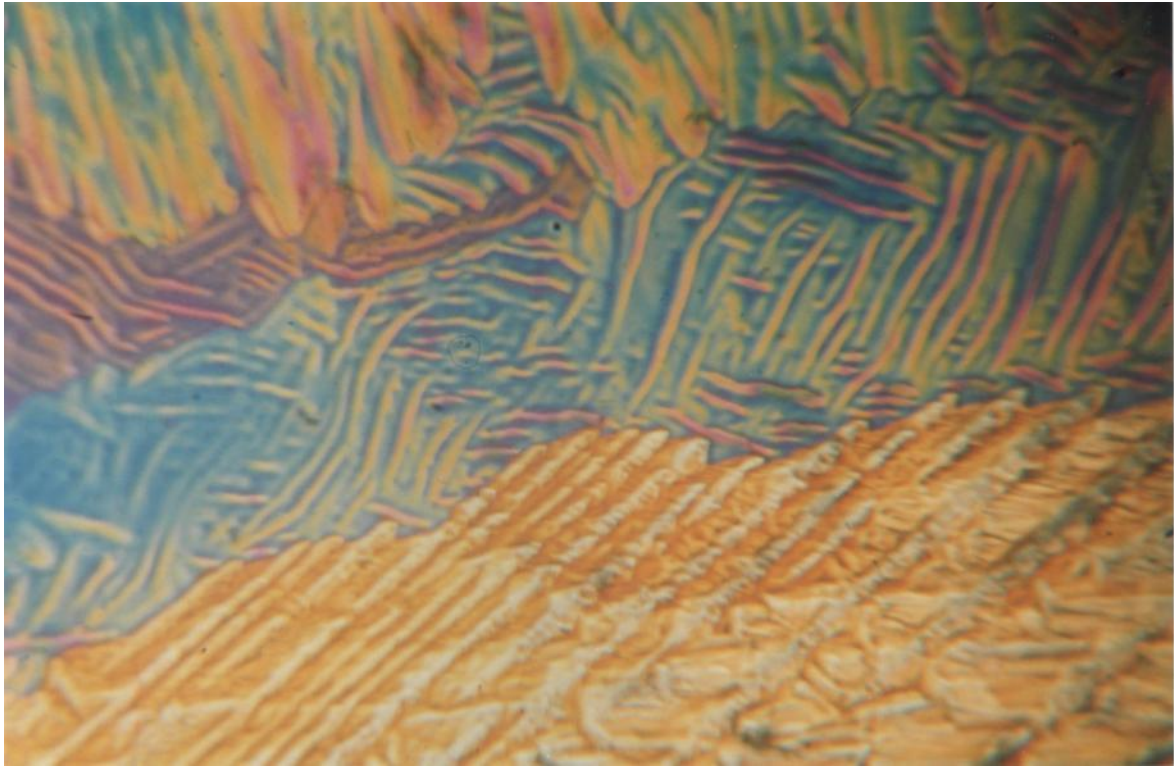


Рис. 21. Структура БТС при регистрации излучения адаптера Светлица - два (+)



а

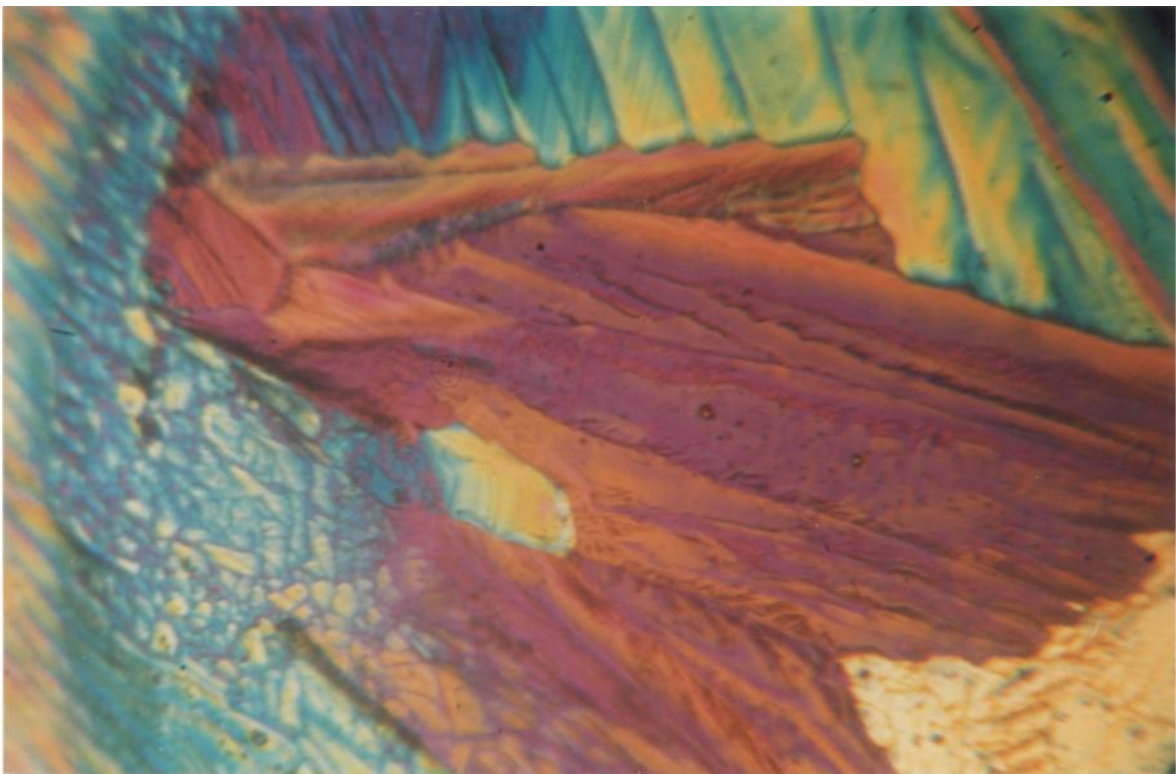
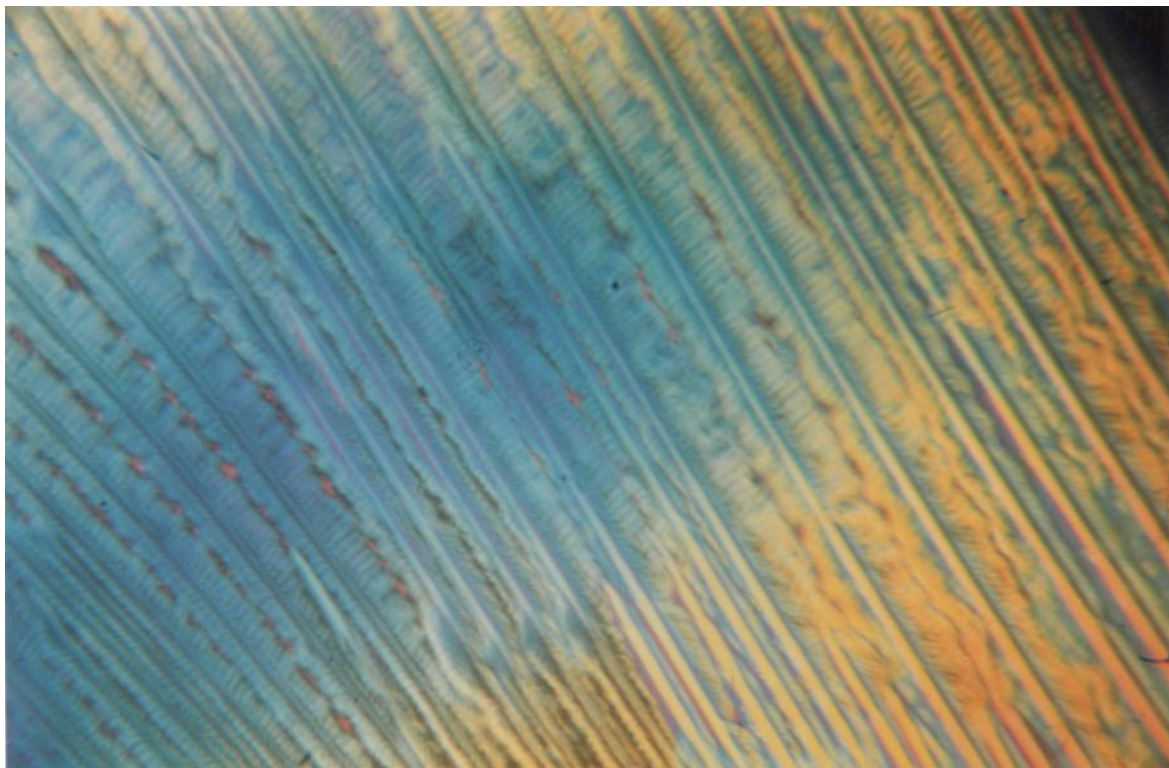


Рис. А: а,б. Исходные энергограммы надпочечников /ЭИП/ больного И. а - правый б - левый



а

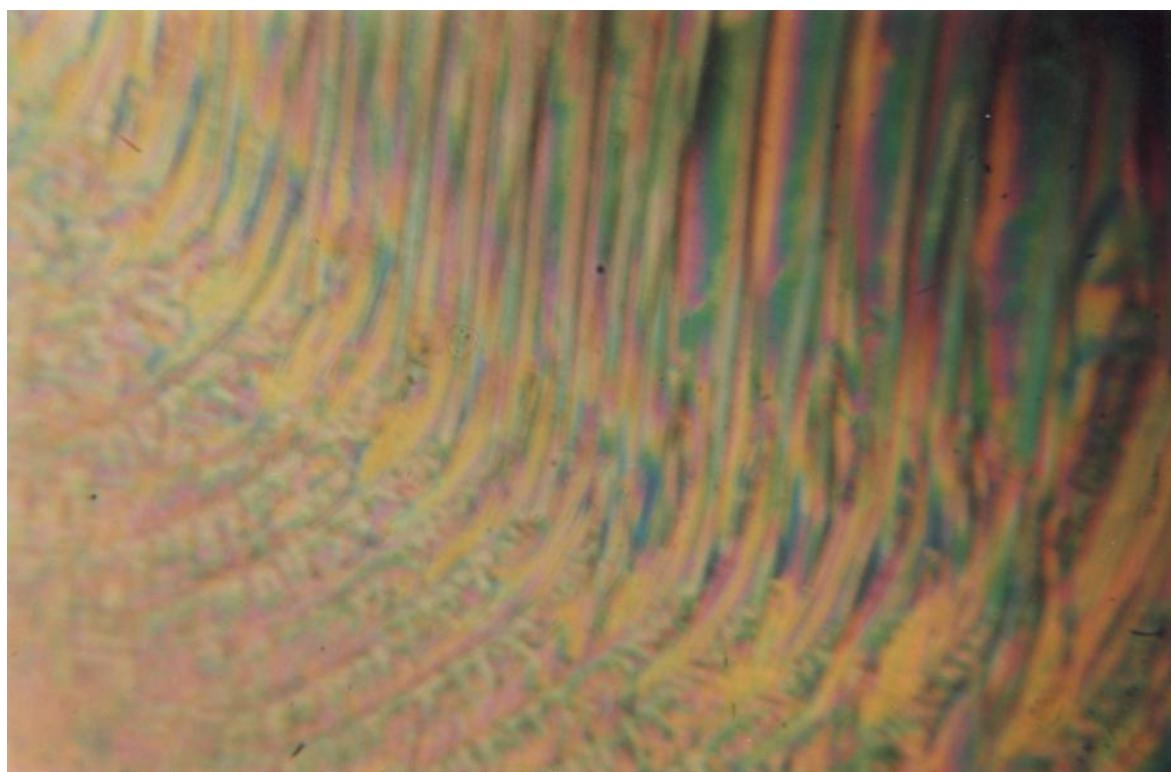


Рис. 22 а,б. Энергограмма надпочечников после воздействия адаптера Светлица - два (+) а - правый б - левый

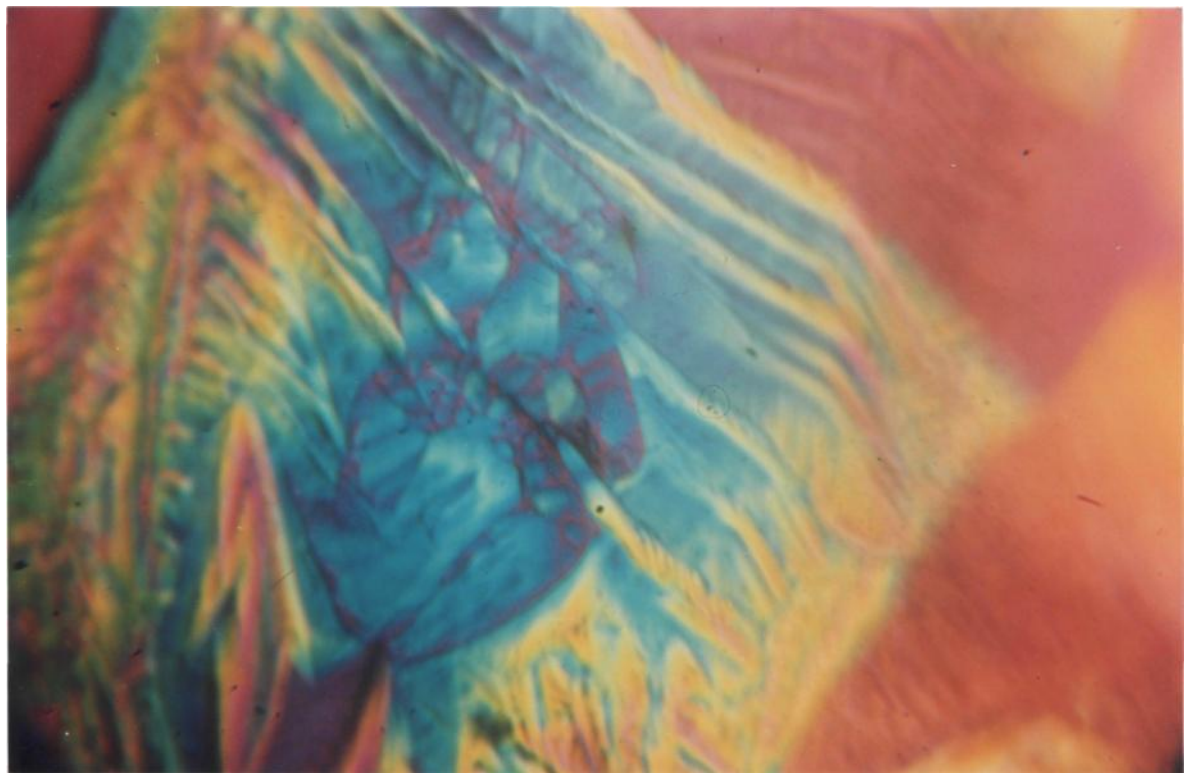
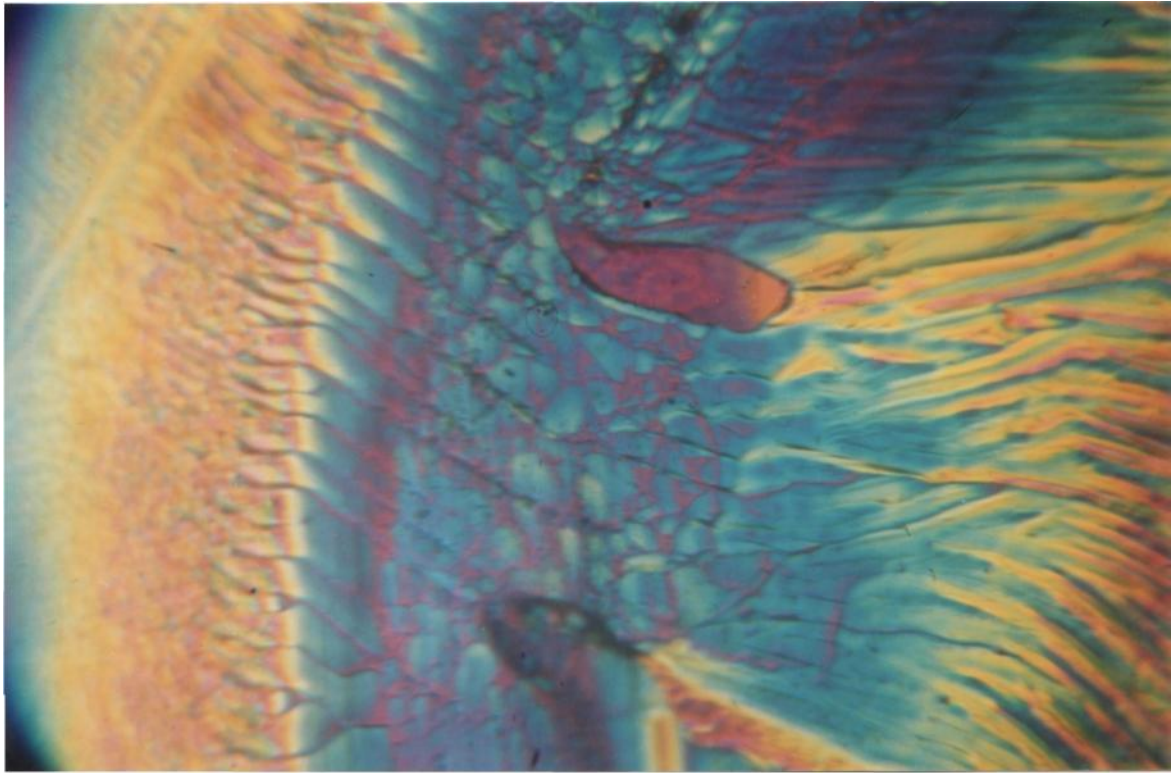


Рис. 23 а,б. Исходное ЭИП головного мозга

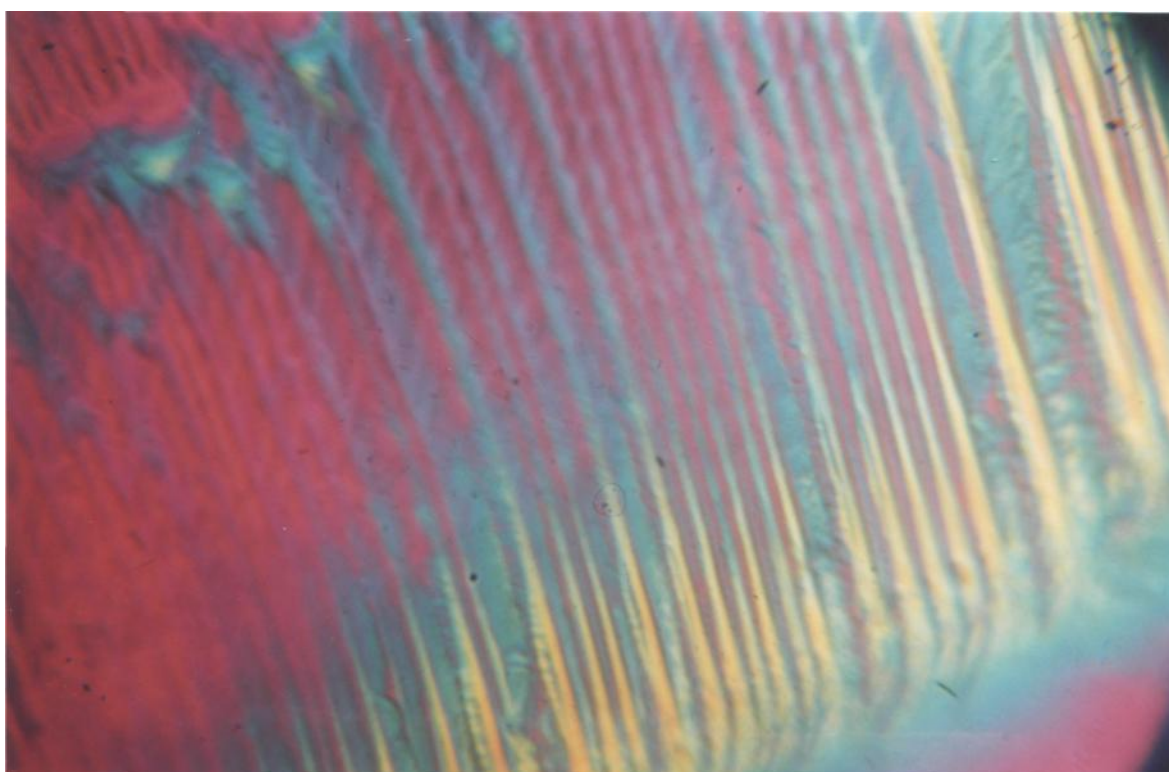
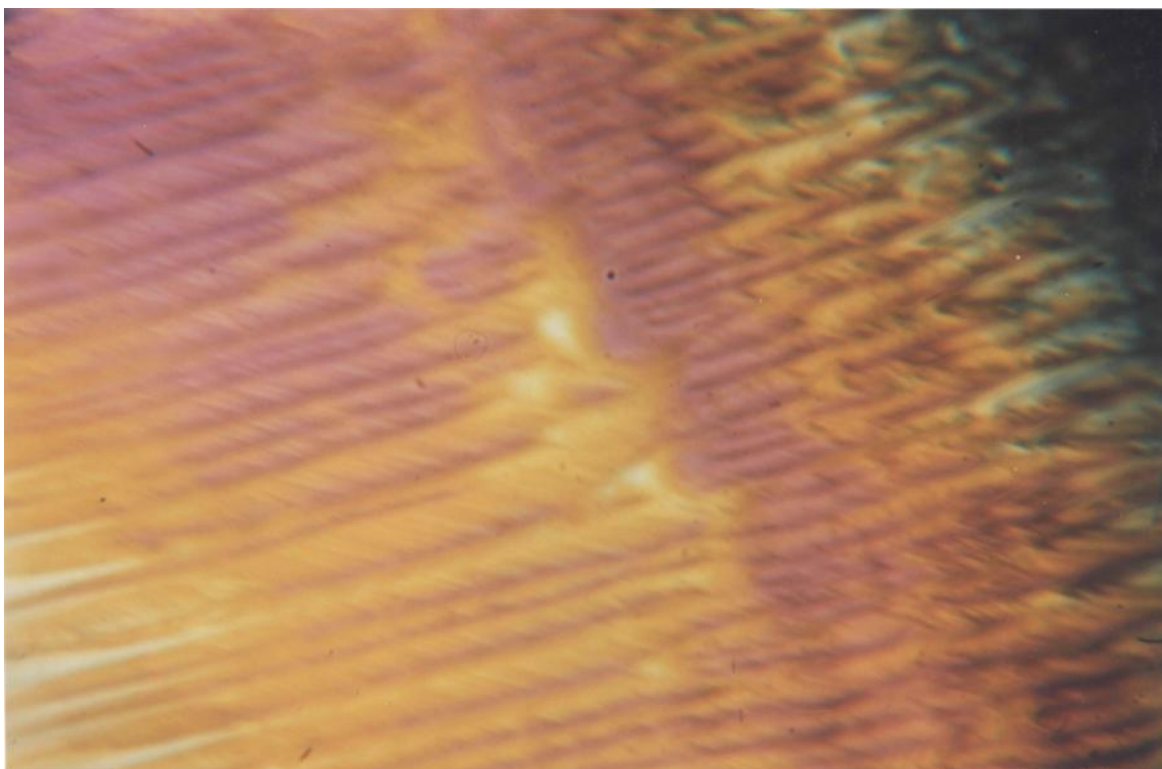
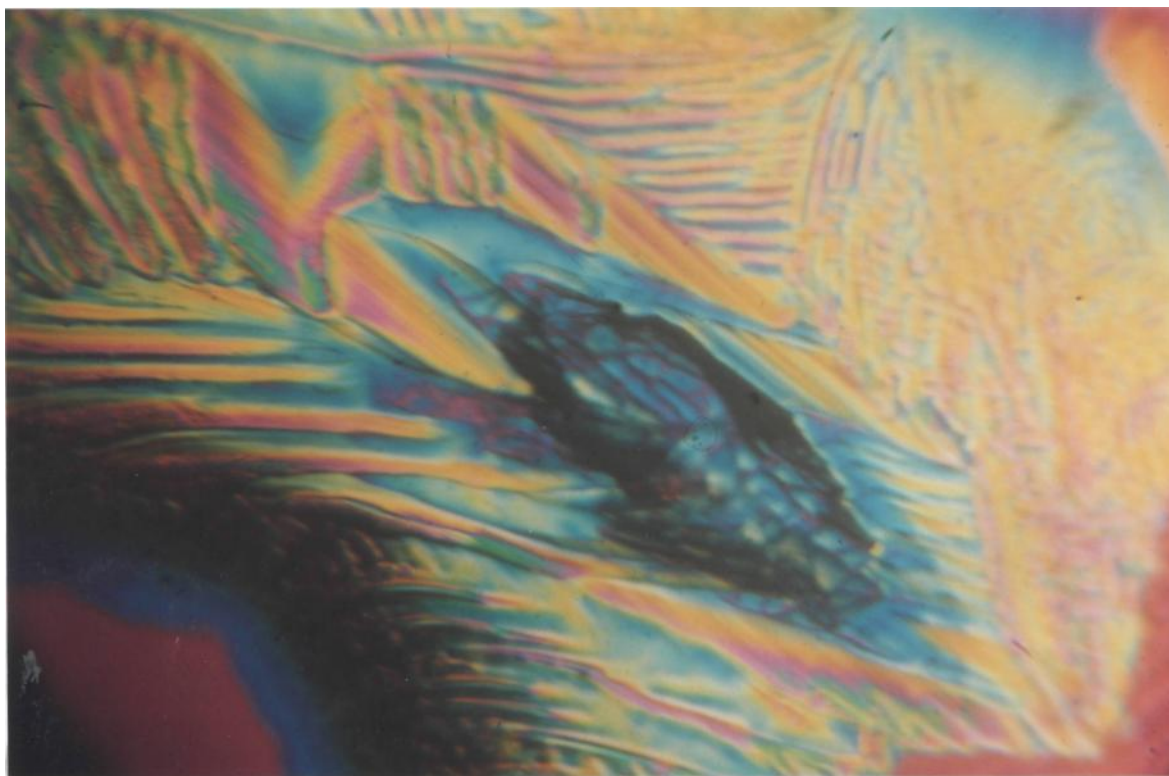


Рис. 24 а,б. ЭИП головного мозга после воздействия: а -  
через 20 минут б - через 40 минут



а

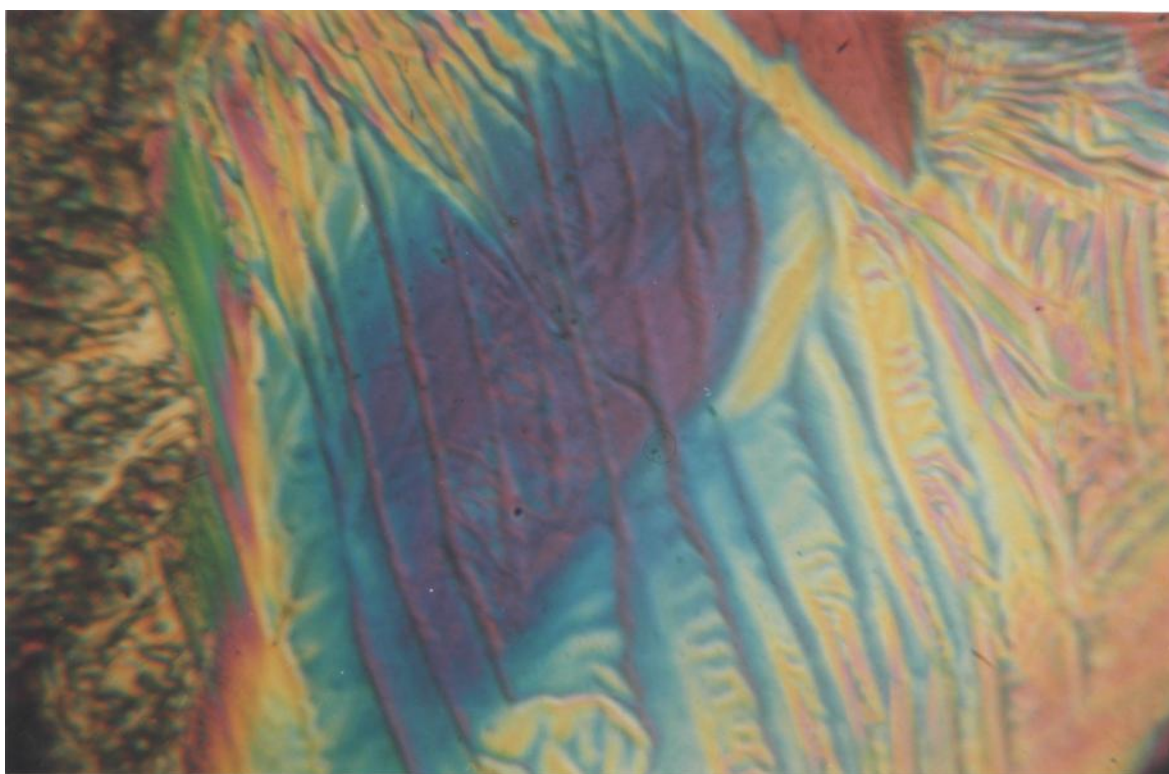
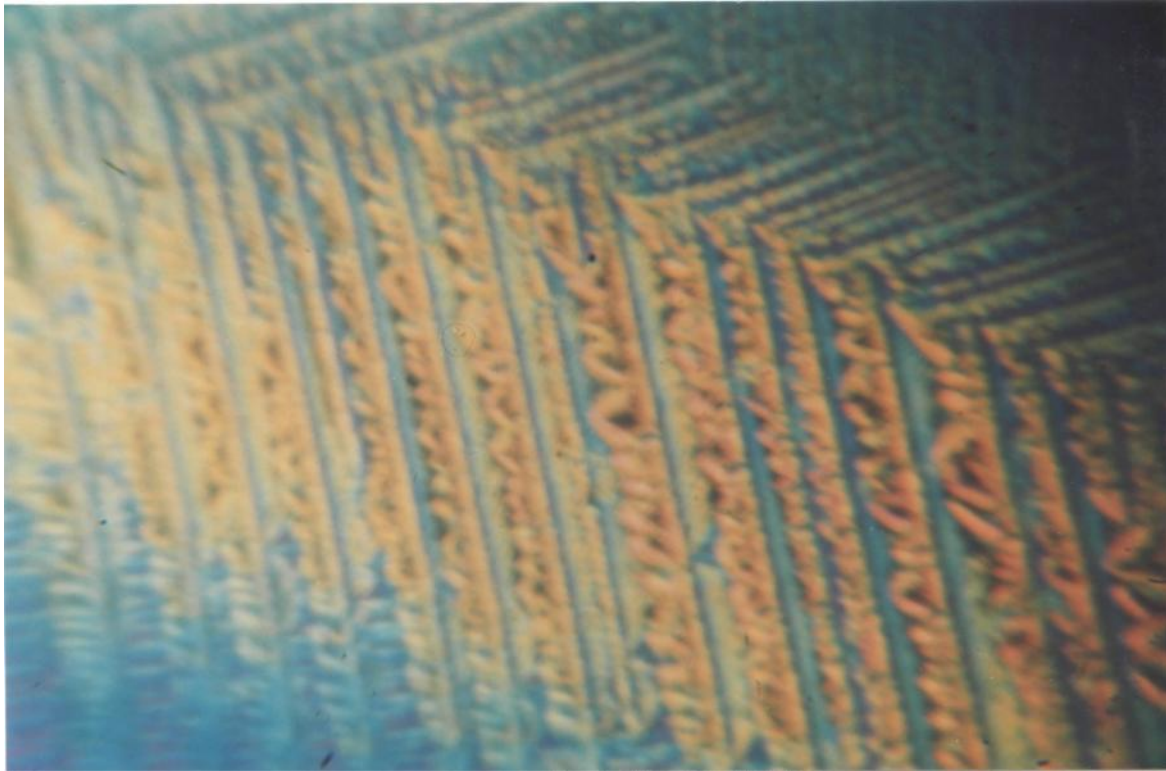


Рис. 25 а,б. ЭИП сердца, исходное а - информационная версия б - блик верушки сердца



а

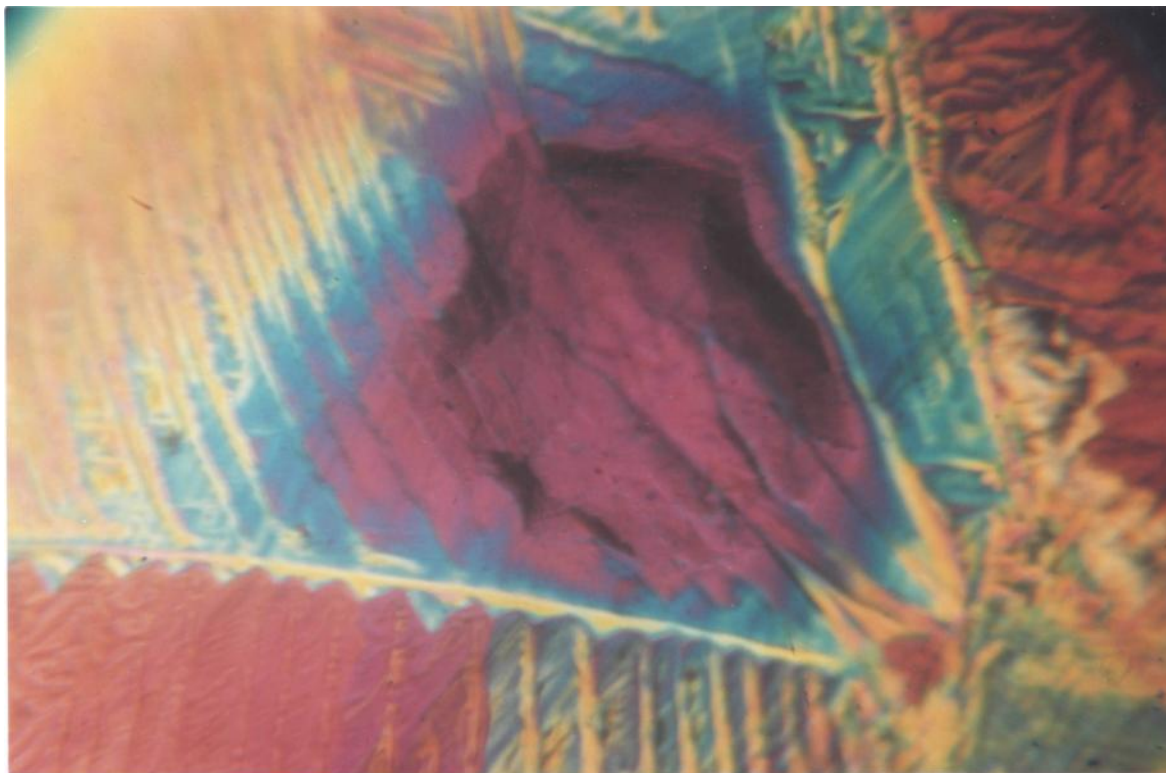


Рис. 26 а,б. ЭИП сердца после применения адаптера а - синхронный ритм б - сердце, экранированное в защитную оболочку

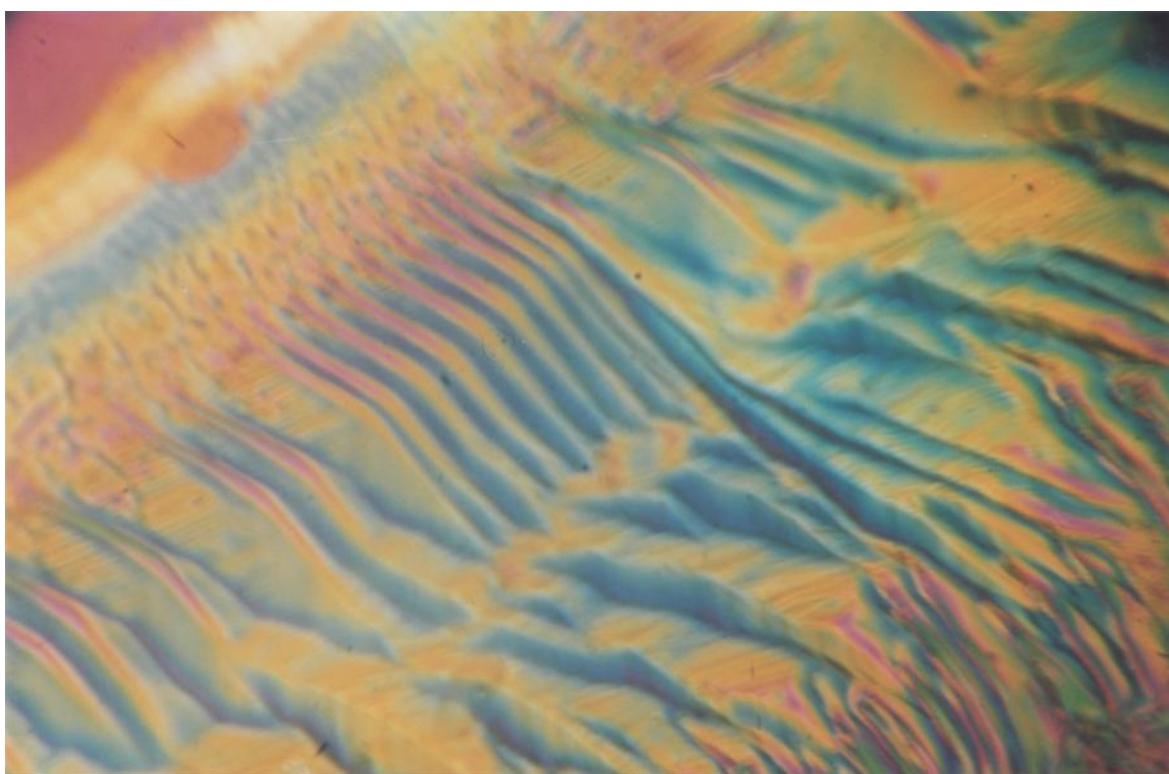
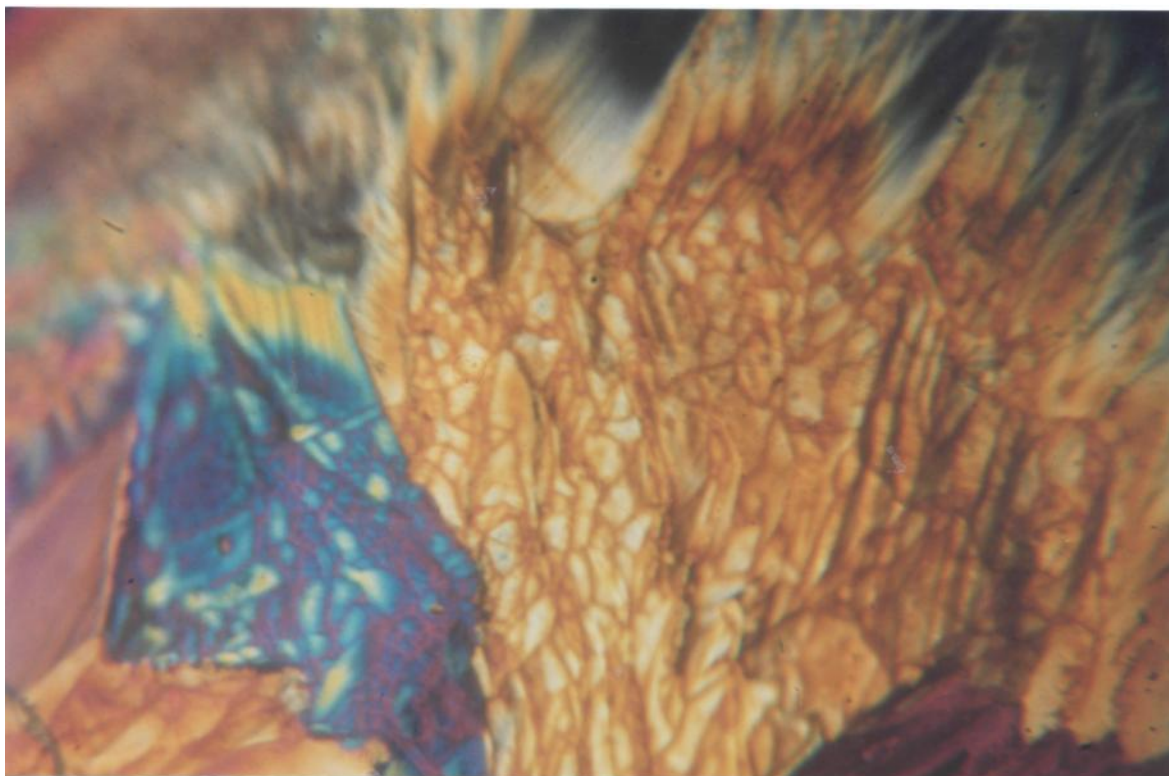
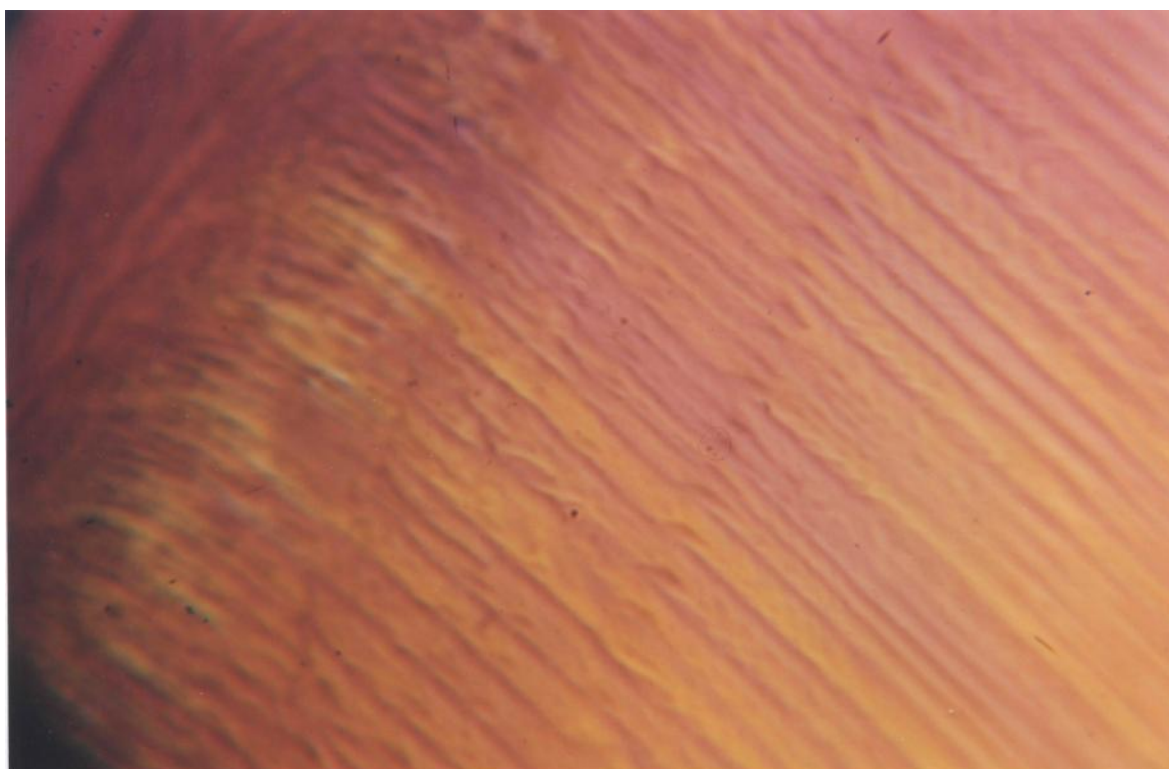
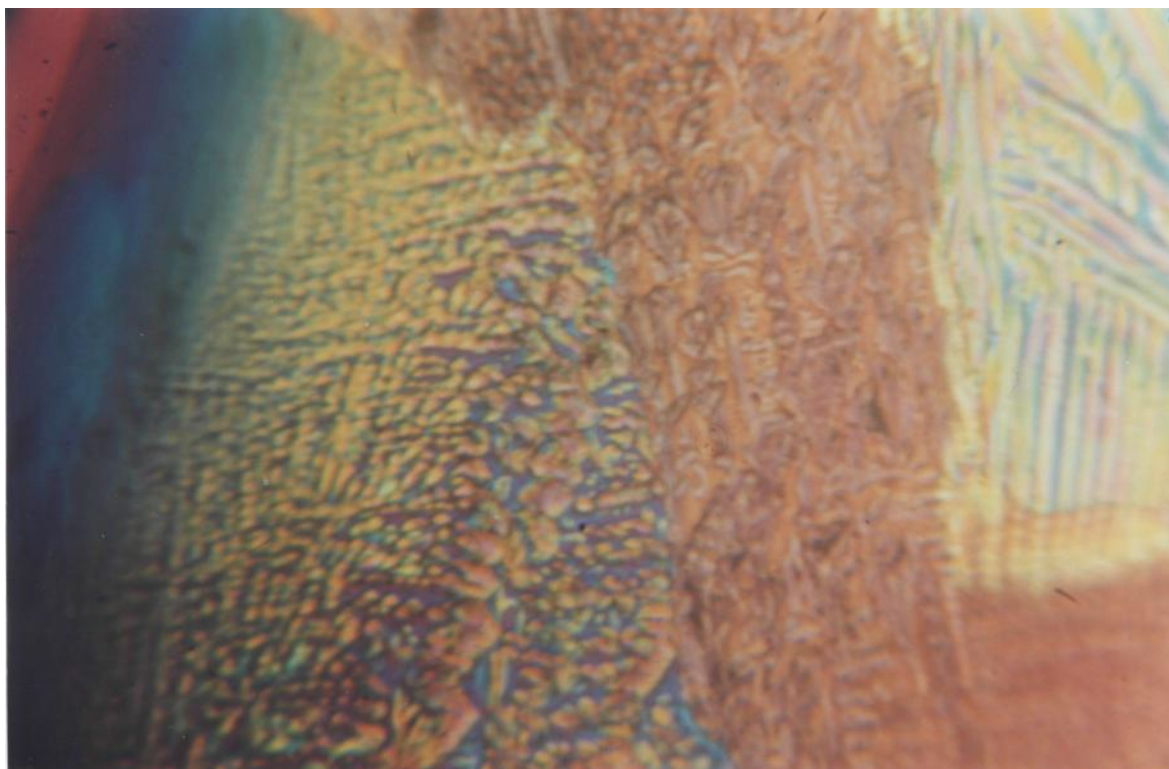


Рис. 27 а-в. См на обороте



В

Рис. 27 а-в. Динамика ЭИП, щитовидная железа а - исходное  
ЭИП б - через 20 минут в - через 40 минут -  
положительный эффект адаптера



а

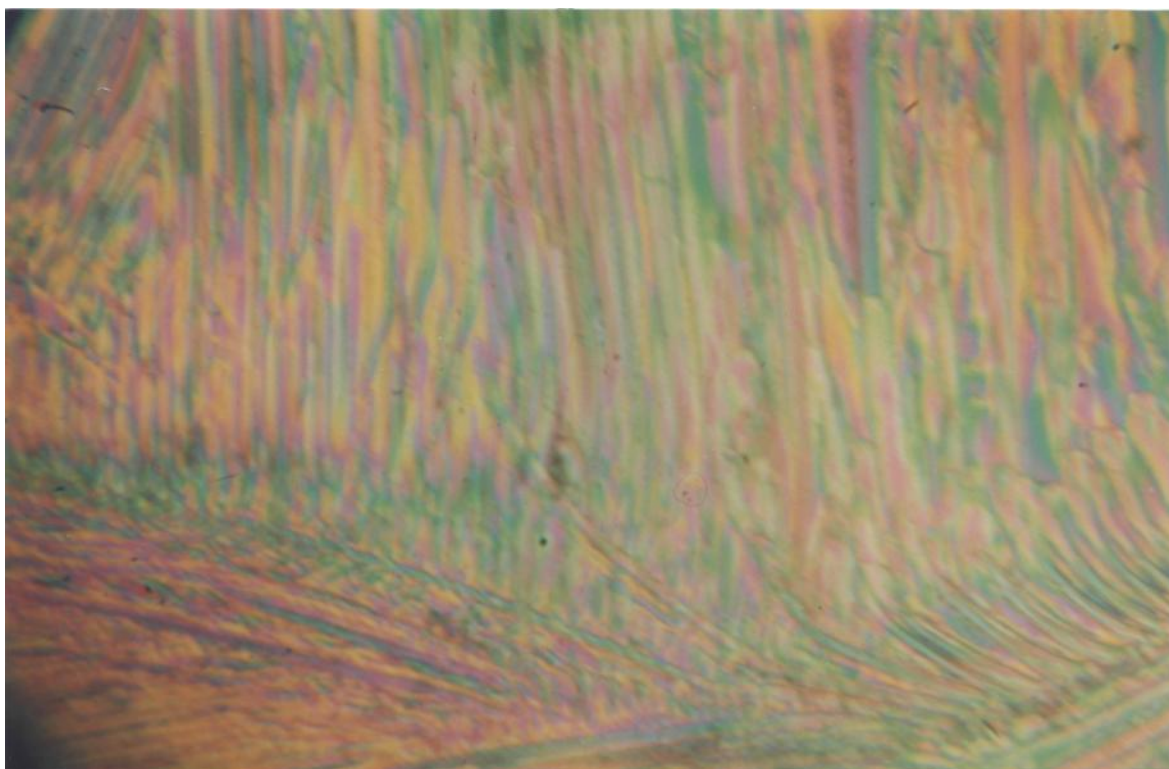


Рис. 28 а-в. См на обороте

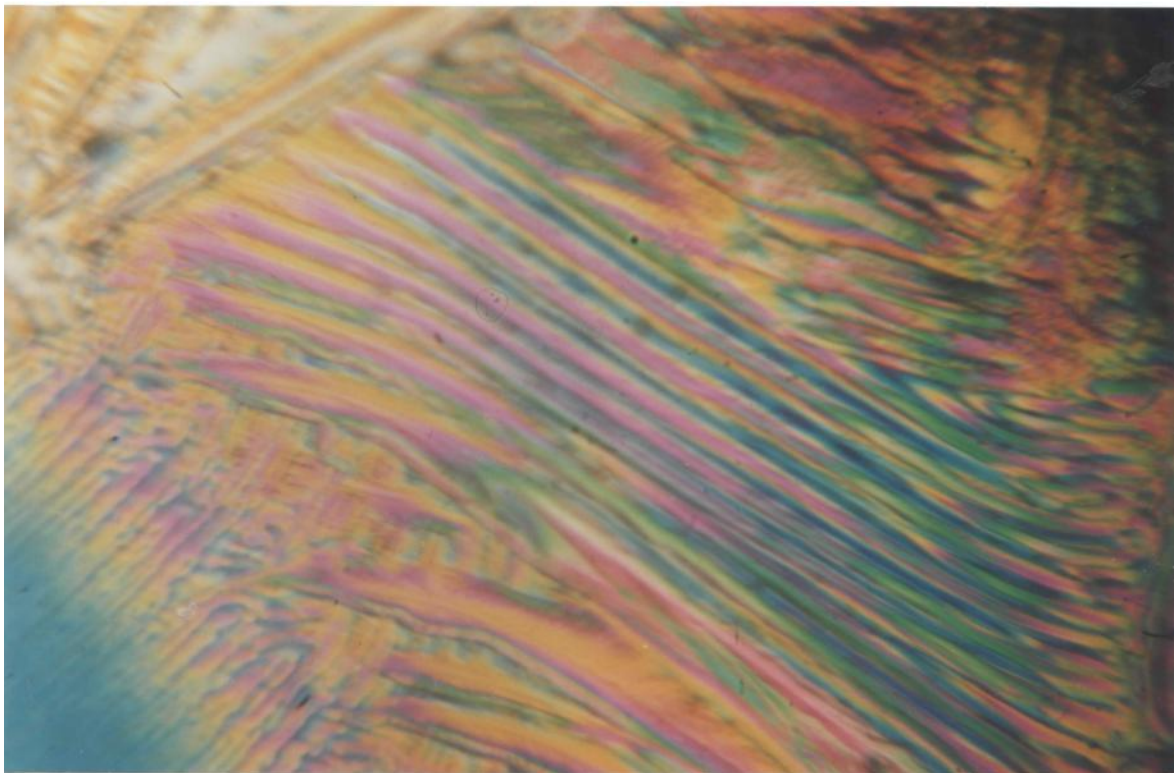


Рис. 28 а-в. Динамика изменения ЭИП щитовидной железы под влиянием адаптера Светлица-супер а - исходное б - через 20 минут в - через 40 минут

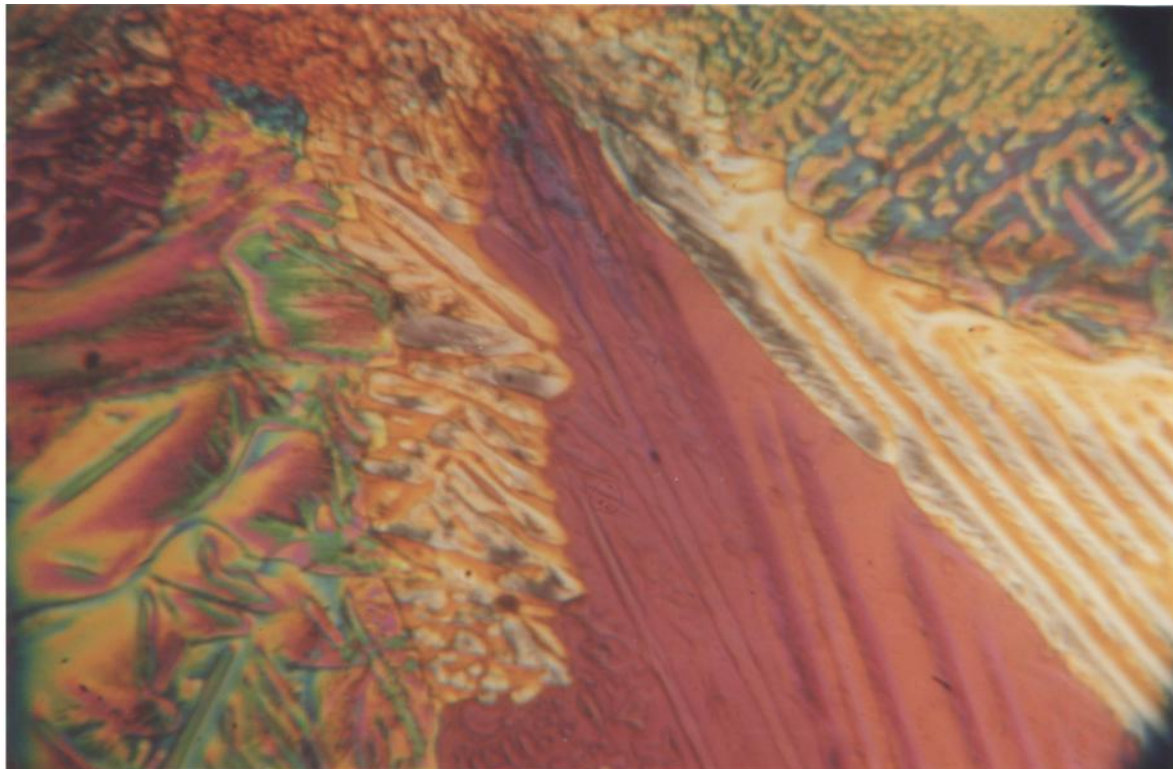
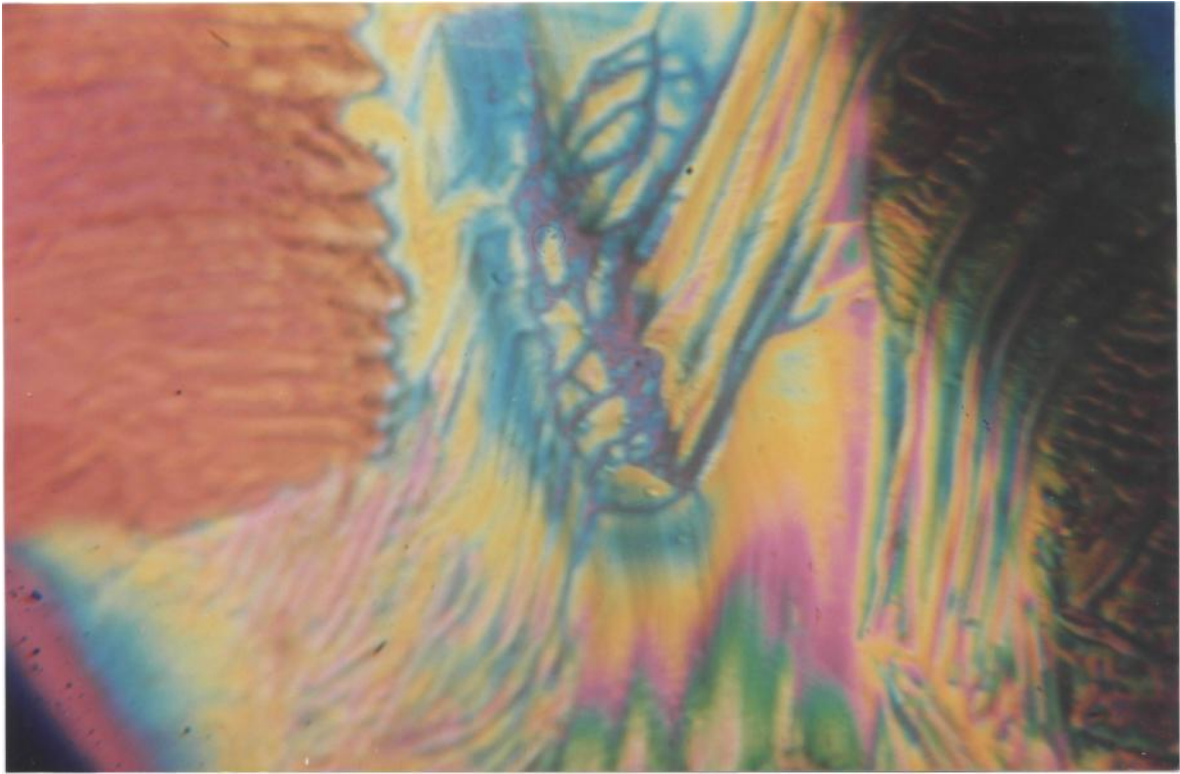


Рис. 29 а-в. См на обороте



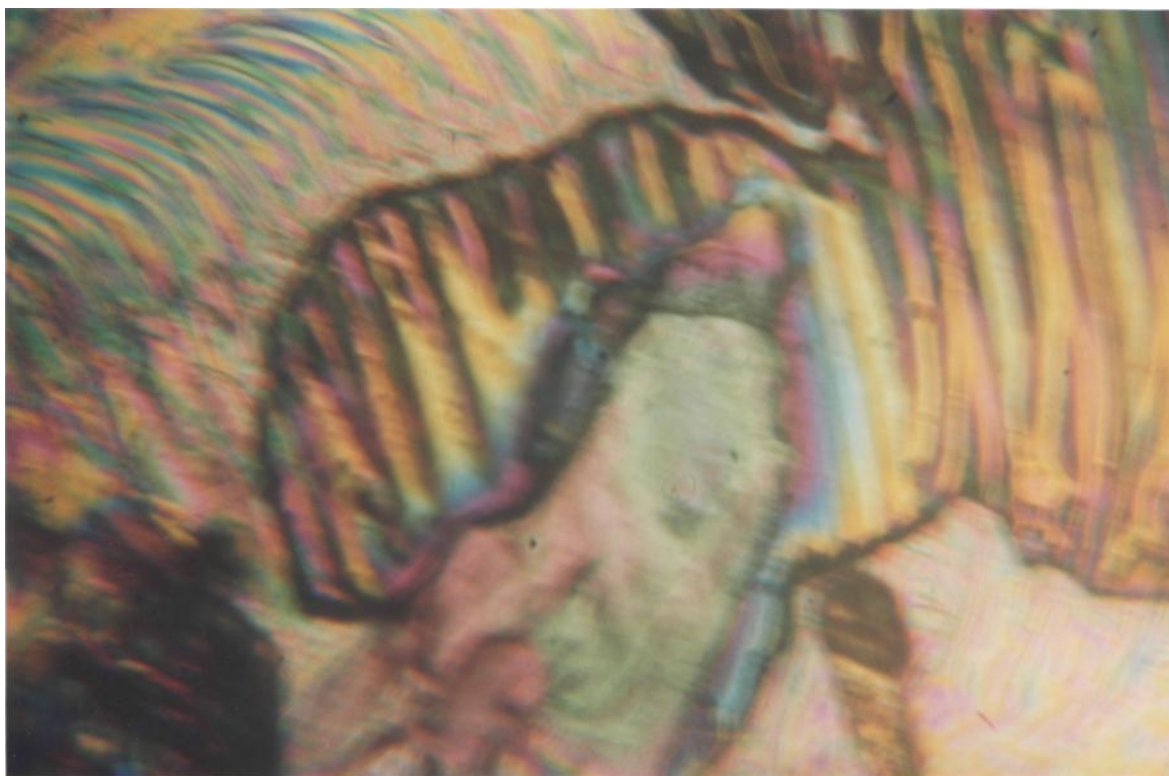
Рис. 29 а-в. Динамика ЭИП головного мозга под влиянием адаптера а - информационное загрязнение б - активное возбуждение в - стабилизация ритма информационного излучения



а



Рис. 30 а,б. ЭИП сердца, исходное а -  
блок загрязнения б -  
конфигурация сердца



а

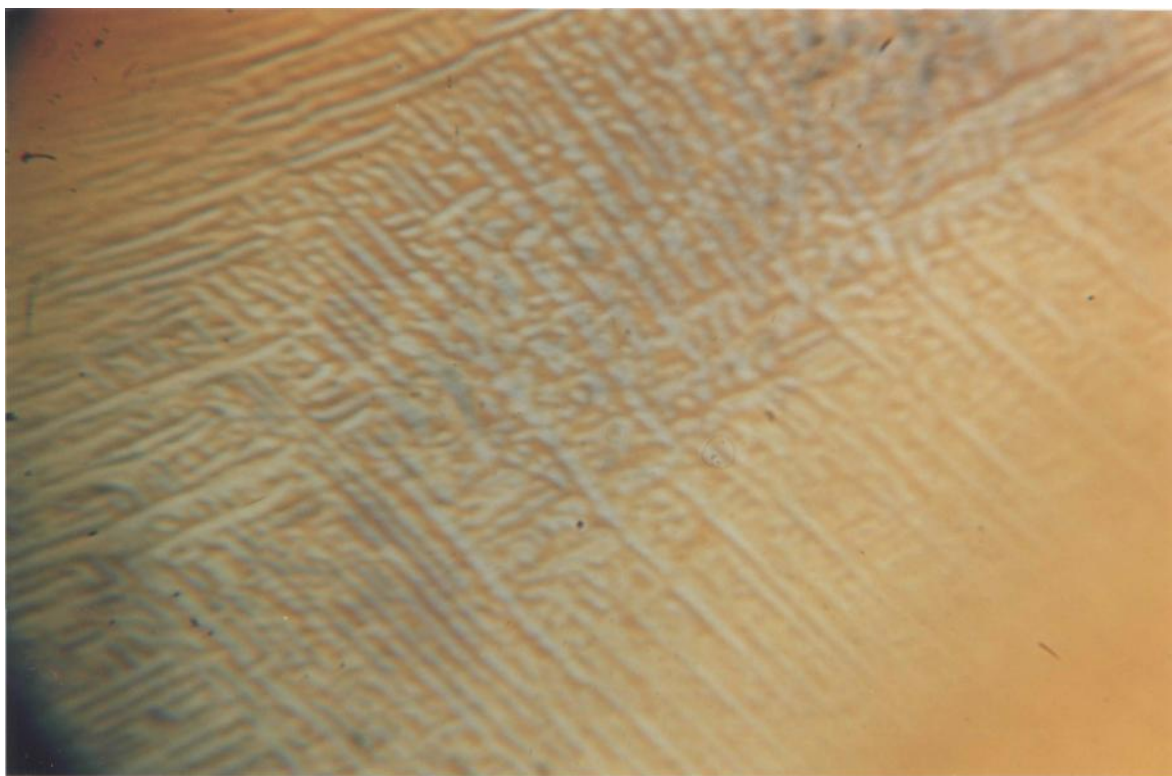


Рис. 31 а-в. См на обороте

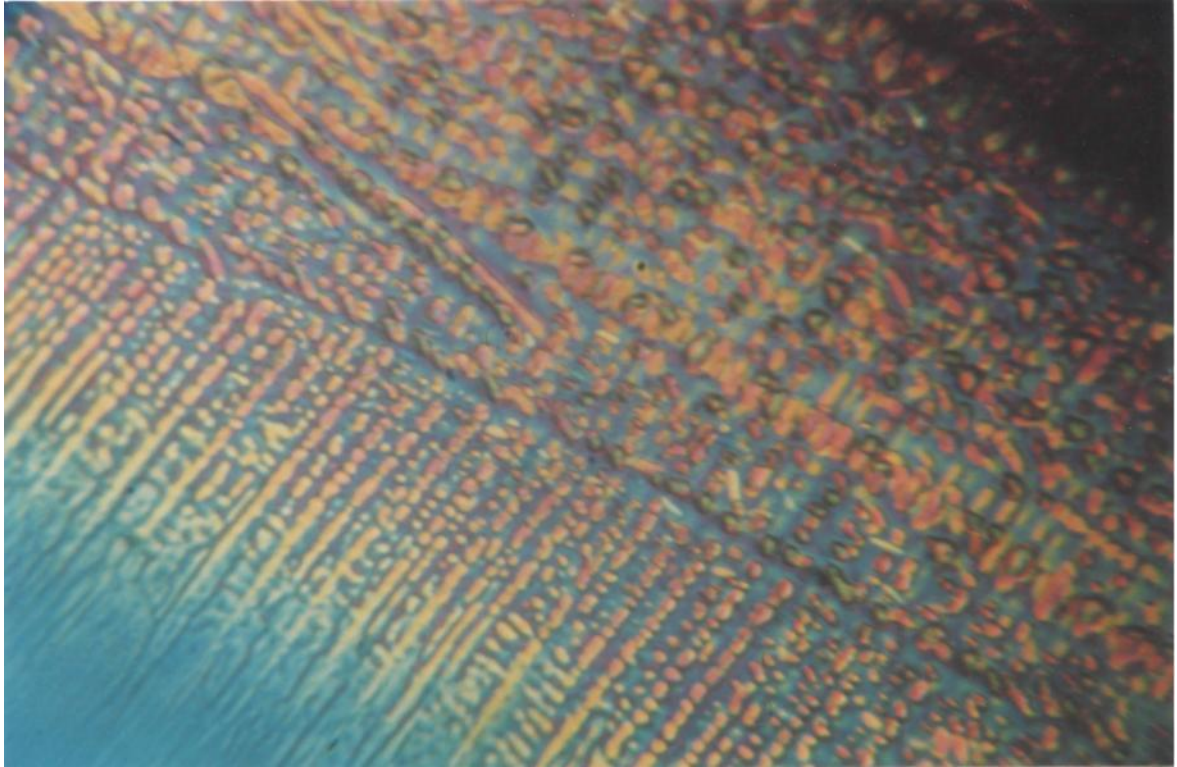


Рис. 31 а-в. ЭИП сердца после применения адаптера  
Процесс стабилизации энергоинформационной  
оболочки органа: а -  
защитный «панцирь»  
б - восстановление ритма информационного излучения сердца  
в - восстановление ритма информационного излучения сердца